

รายการอ้างอิง

- 1 Chowdhuri, P.; Mishra, A.K.; Martin, P.M.;and McConnell, B.W. The Effects of Nonstandard Lightning Voltage Waveshapes on the Impulse Strength of Short Air Gaps. IEEE Trans on Power Delivery vol.9, no.4(October 1994):1991-1998
- 2 Chowdhuri, P.; Mishra, A.K.; and McConnell, B.W. Volt-Time Characteristics of Short Air Gaps Under Nonstandard lightning Voltage Waves. IEEE Trans. on Power Delivery vol.12, no.1(January 1997): 470-476
- 3 Task Force 15.09 on Nonstandard Lightning Voltage Waves Lightning and Insulator Subcommittee of the T&D Committee. Review of Research on Nonstandard Lightning Voltage waves. IEEE Trans. on Power Delivery vol.9, no.4(October 1994): 1972-1981
- 4 Task Force on Nonstandard Lightning Voltage Waves Lightning and Insulator Subcommittee of the T&D Committee. Bibliography of Research on Nonstandard Lightning Voltage Waves. IEEE Trans. on Power Delivery vol.9, no.4 (October 1994): 1982-1990
- 5 Jones, A.R. Evaluation of the Integration Method for Analysis of Nonstandard Surge Voltages. AIEE Trans vol. 69(August 1954): 984-990
- 6 Caldwell, R.O.; and Darveniza, M. Experimental and Analytical Studies of the Effect of Non-standard Waveshapes on the Impulse Strength of External Insulation. IEEE Trans. on Power Apparatus & System no.92(1973): 1420-1428
- 7 Darveniza, M.; and Vlastos, A. E. The Generalized Integration Method for Predicting Impulse Volt-Time Characteristics for non-Standard Wave Shapes – a Theoretical Basis. IEEE Trans. on Electrical Insulation vol.23 ,no.3(June 1988): 373-381
- 8 Chowdhuri, P.; Mishra, A.K.;and McConnell, B.W. Volt-Time Characteristics of Short Air Gaps under Nonstandard lightning Voltage Waves IEEE Power Engineering Review 96 SM 421-8 PWRD,T-PWRD(January 1997): 67-68
- 9 Sekioka, S.; et. al. Calculation of Flashover Characteristics in the EMTP Trans. on IEE Japan vol.113-B, No.5(1993): 476 (In Japanese)

- 10 Wagner, C.F. ; and Hileman, A.R. Mechanism of Breakdown of Laboratory Gaps.
AIEE Transactions vol. 80, pt. III(1961): 604-622
- 11 Suzuki, T.; and Miyake, K. Experimental Study of Breakdown Voltage-Time Characteristics of Large Air Gaps with Lightning Impulses. IEEE Trans. on Power Apparatus and Systems vol. PAS-96, no.1(January/February 1977): 227-233
- 12 Shindo, T.; and Suzuki, T. A New Calculation Method of Breakdown Voltage-Time Characteristics of Long Air Gaps. IEEE Trans. on Power Apparatus and Systems vol. PAS-104, no. 6(June 1985): 1556-1563
- 13 Pigini, A.; et al. Performance of Large Air Gaps under Lightning Overvoltages: Experimental Study and Analysis of Accuracy of Predetermination Methods. IEEE Trans. on Power Delivery vol.4, no.2(April 1989): 1379-1392
- 14 Motoyama, H. Experimental Study and Analysis of Breakdown Characteristics of Long Air Gaps with Short Tail Lightning Impulse. IEEE Trans. on Power Delivery vol. 11, no.2(April 1996): 972-979
- 15 Meek, J.M.; Craggs, J.D. Electrical Breakdown of Gases. Chichester New York Brisbane Toronto: John Wiley&Sons, 1978.
- 16 Nagaoka, N. A Flashover Model Using a Nonlinear Inductance. Trans. on IEE Japan vol.111-B, no.5(1991): 529-534 (In Japanese)
- 17 Ueda, T.; et. al. Flashover Model for Arcing Horns and Transmission Line Arresters. Trans. on IEE Japan vol.112-B, no.12(1992): 1085-1091 (In Japanese)
- 18 Technical Report of IEE Japan. New Evaluation Method of Lightning Surges at Substations. Trans. on IEE Japan Part.2, no. 446(1992) (In Japanese)
- 19 Technical Report of IEE Japan. Modeling for High Evaluation of Lightning Surges. Trans. on IEE Japan Part.2, no.704(1998) (In Japanese)
- 20 Vibholm, S.; and Thyregod, P. A Study of the Up-and-Down Method for non-Normal Distribution Functions. IEEE Trans on Electrical Insulation vol.23, no.3(June 1988): 357-364
- 21 IEC 60-1 International Standard High-Voltage Test Technique. 2nd Edition, 1989.
- 22 Reliasoft Corporation. Least Squares Parameter Estimation (Regression Analysis) [Online] Available from: http://www.weibull.com/LifeDataWeb/least_squares.htm

- 23 Ross, R. Bias and Standard Deviation due to Weibull Parameter Estimation for Small Data Sets. IEEE Tran. on Dielectrics and Electrical Insulation vol.3, no.1 (February 1996): 28-42
- 24 Montanari, G.C.; Mazzanti, G.; Cacciari, M.; and Fothergill, J.C. Optimum Estimators for the Weibull Distribution of Censored Data Singly-censored Tests. IEEE Trans. on Dielectrics and Electrical Insulation vol.4, no.4(August 1997): 462-469
- 25 คณาจารย์ภาควิชาคณิตศาสตร์ คณะวิทยาศาสตร์ จุฬาฯ. ความน่าจะเป็นและสถิติ. พิมพ์ครั้งที่ 8 : ห้องหุ้นส่วนจำกัดพิทักษ์การพิมพ์, 2537
- 26 Cacciari, M.; and Montanari, G.C. Discussion: Estimating the Cumulative Probability of Failure Data Points to be Plotted on Weibull and other Probability Paper. IEEE Trans. on Electrical Insulation vol.26, no.6(December 1991); 1224-1229
- 27 Fothergill, J.C. Estimating the Cumulative Probability of Failure Data Points to be Plotted on Weibull and other Probability Paper. IEEE Trans. on Electrical Insulation vol.28, no.3(June 1990); 489-492
- 28 Montanari, G.C.; Mazzanti, G.; Cacciari, M.; and Fothergill J.C. In Search of Convenient Techniques for Reducing Bias in the Estimation of Weibull Parameters for Uncensored Tests", IEEE Trans. on Dielectrics and Electrical Insulation. vol.4, no.3(June 1997): 306-313
- 29 Jacquelin, J. Generalization of the Method of Maximum Likelihood IEEE Trans. on Electrical Insulation vol.28, no.1(Feburary 1993): 65-72
- 30 Cacciari, M.; and Montanari, G.C. Discussion:Generalization of the Method of Maximum Likelihood IEEE Trans. on Dielectrics and Electrical Insulation, vol.1 no.3(June 1994): 545-547
- 31 Dr.W.Scott Meyer, and Dr.Tsu-huei Liu., Alternative Transients Program(ATP) Rule Book. 1987
- 32 Carrus, A.; Cinieri, E.; Fumi, A.; Mazzetti, C. Short Tail Lightning Impulse Behaviour of Medium Voltage Line Insulation. IEEE Trans. on Power Delivery vol.14, no.1 (January 1999): 218-226



ภาคผนวก

ภาคผนวก ก.

Maximum Likelihood Parameter Estimation

Maximum Likelihood Parameter Estimation หรือ MLE เป็นวิธีทางคณิตศาสตร์ วิธีหนึ่งที่ใช้ในการหาพารามิเตอร์ของฟังก์ชันความน่าจะเป็นจากชุดข้อมูลใดๆ วิธี MLE จะให้ค่าพารามิเตอร์โดยไม่ขึ้นกับชนิดการกระจายของข้อมูล ข้อควรระวังในการหาพารามิเตอร์ ด้วยวิธีนี้คือจะให้ผลที่คลาดเคลื่อนมากถ้าข้อมูลที่ใช้คำนวนพารามิเตอร์มีจำนวนน้อย[28] และการจะนำพารามิเตอร์ที่คำนวนได้จากการนี้ไปใช้นั้น ควรจะรู้แจ้งอนก่อนว่าข้อมูลมีฟังก์ชันความน่าจะเป็นแบบใด

การคำนวนพารามิเตอร์ทำได้โดย ถ้าสมมติให้ x เป็นตัวแปรสุ่มแบบต่อเนื่องที่มีฟังก์ชันความน่าจะเป็น $f(x; \theta_1, \theta_2, \dots, \theta_k)$ โดย $\theta_1, \theta_2, \dots, \theta_k$ เป็นพารามิเตอร์ในฟังก์ชันความน่าจะเป็นที่ต้องการทราบค่า x_1, x_2, \dots, x_R เป็นเหตุการณ์ที่เป็นอิสระต่อกัน R เหตุการณ์ จะได้ Likelihood Function; L และ Logarithmic Likelihood Function; $\ln(L)$ ดังสมการที่ (ก.1) และ (ก.2) ตามลำดับ

$$L(\theta_1, \theta_2, \dots, \theta_k | x_1, x_2, \dots, x_R) = \prod_{i=1}^R f(x_i; \theta_1, \theta_2, \dots, \theta_k) \quad (\text{ก.1})$$

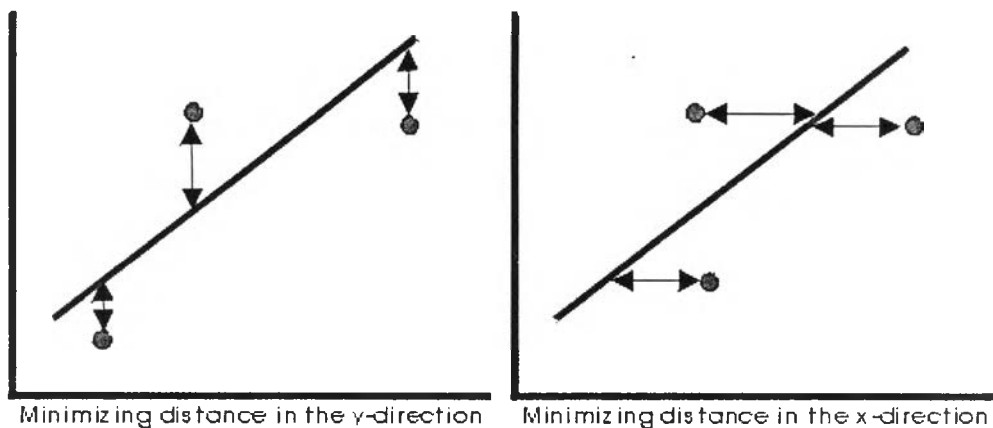
$$\ln(L) = \sum_{i=1}^R \ln(f(x_i; \theta_1, \theta_2, \dots, \theta_k)) \quad (\text{ก.2})$$

ค่า $\theta_1, \theta_2, \dots, \theta_k$ คาดเดาหาได้โดยให้ $\frac{\partial L}{\partial \theta_j}$ หรือ $\frac{\partial \ln(L)}{\partial \theta_j}$ มีค่าเท่ากับ 0 โดย j มีค่าเท่ากับ 1 ถึง k จากนั้นคำนวนหาค่าพารามิเตอร์โดยใช้กระบวนการ iteration

ภาคผนวก ข.

Least Square Estimation

Least Square เป็นการทำ Linear Regression โดยหากราฟเส้นตรงที่ผ่านกลุ่มของข้อมูลแล้วทำให้ค่ากำลังสองของระยะทางจากจุดข้อมูลไปยังเส้นตรงมีค่าน้อยที่สุด ซึ่งอาจเป็นระยะทางตามแนวแกนตั้งหรือแนวแกนนอนก็ได้ ถ้าเป็น Regression ตามแนวแกนนอนหรือแกน x คือ ส่วนเบี่ยงเบนของข้อมูลตามแนวแกน x กับเส้นตรงมีค่าน้อยที่สุด และกลับกันในกรณีแกน y วิธีนี้ใช้ได้กับชุดข้อมูลที่มีแนวโน้มเป็นเส้นตรง วิธีนี้จะใช้ได้กับข้อมูลแบบ Uncensored [22]



รูปที่ ข.1 Least Square ตามแนวแกน y และ x

ข.1 Regression ตามแนวแกน y

สมมติว่ามีชุดข้อมูลอยู่ N ตัว ได้แก่ $(x_1, y_1), (x_2, y_2), \dots, (x_n, y_n)$ ให้เส้นตรง $y = a + bx$ เป็นเส้นตรงที่ทำให้ค่ากำลังสองของระยะทางตามแนวตั้งจากจุดข้อมูลไปยังเส้นตรงนี้มีค่าน้อยที่สุด ตามสมการ

$$\sum_{i=1}^N (a + bx_i - y_i)^2 = \min(a, b) \sum_{i=1}^N (a + bx_i - y_i)^2 \quad (\text{II.1})$$

$$a = \frac{\sum_{i=1}^N y_i}{N} - b \frac{\sum_{i=1}^N x_i}{N} = \bar{y} - b\bar{x} \quad (\text{II.2})$$

$$b = \frac{\sum_{i=1}^N x_i y_i - \frac{\sum_{i=1}^N x_i \sum_{i=1}^N y_i}{N}}{\sum_{i=1}^N x_i^2 - \frac{\left(\sum_{i=1}^N x_i\right)^2}{N}} \quad (\text{II.3})$$

๒. Regression ตามแนวแกน x

สมมติว่ามีชุดข้อมูลอยู่ N ตัว ได้แก่ $(x_1, y_1), (x_2, y_2), \dots, (x_n, y_n)$ ให้เส้นตรง $x = \hat{a} + \hat{b}y$ เป็นเส้นตรงที่ทำให้ค่ากำลังสองของระยะทางตามแนวโน้มจากชุดข้อมูลไปยังเส้นตรงนี้มีค่าน้อยที่สุด ตามสมการ

$$\sum_{i=1}^N (\hat{a} + \hat{b}y_i - x_i)^2 = \min(a, b) \sum_{i=1}^N (a + by_i - x_i)^2 \quad (๒.4)$$

$$\hat{a} = \frac{\sum_{i=1}^N x_i}{N} - \hat{b} \frac{\sum_{i=1}^N y_i}{N} = \bar{x} - \hat{b}\bar{y} \quad (๒.5)$$

$$\begin{aligned} \hat{b} &= \frac{\sum_{i=1}^N x_i y_i - \frac{\sum_{i=1}^N x_i \sum_{i=1}^N y_i}{N}}{\sum_{i=1}^N y_i^2 - \frac{\left(\sum_{i=1}^N y_i\right)^2}{N}} \\ & \end{aligned} \quad (๒.6)$$

๓ Correlation Coefficient

Correlation Coefficient ρ เป็นค่าที่บ่งบอกว่า Linear Regression นั้นให้สมการเส้นตรงที่พอดีกับชุดข้อมูลมากน้อยเพียงใด โดย ρ มีค่าตามสมการ

$$\rho = \frac{\sigma_{xy}}{\sigma_x \sigma_y} \quad (๒.7)$$

σ_{xy} คือ Covariance ของ x และ y σ_x คือส่วนเบี่ยงเบนมาตรฐานของ x σ_y คือส่วนเบี่ยงเบนมาตรฐานของ y ค่า Correlation Coefficient คาดเดา ร ของชุด N ตัว สามารถหาได้ดังนี้

$$\hat{\rho} = \frac{\sum_{i=1}^N x_i y_i - \frac{\sum_{i=1}^N x_i \sum_{i=1}^N y_i}{N}}{\sqrt{\left[\sum_{i=1}^N x_i^2 - \frac{\left(\sum_{i=1}^N x_i \right)^2}{N} \right] \left[\sum_{i=1}^N y_i^2 - \frac{\left(\sum_{i=1}^N y_i \right)^2}{N} \right]}} \quad (๒.8)$$

ร จะมีค่าอยู่ในช่วง [-1, 1] ถ้าค่า r มีค่าเข้าใกล้ 1 หรือ -1 แสดงว่าข้อมูลยิงมีแนวโน้มเป็นเส้นตรง คือเป็นเส้นตรงที่มีความชันเป็นบวกและลบตามลำดับ แต่ถ้า r มีค่าเป็นศูนย์ แสดงว่าข้อมูลไม่มีแนวโน้มที่จะเรียงตัวเป็นเส้นตรงเลย

ภาคผนวก ค.

ข้อมูลแรงดันเบรกดาวน์และเวลาเบรกดาวน์

ค.1 แรงดันเบรกดาวน์และเวลาเบรกดาวน์กรณีอิเล็กโทรดแบบ rod-rod

ตารางที่ ค.1 แรงดันเบรกดาวน์และเวลาเบรกดาวน์ รูปคลื่น 1.2/50 μ s ขั้วบวก แกบ 28.5cm

Level 1 : T=28°C,h=50%,P=765mmHg											
No.	V(kV)	t(μs)	No.	V(kV)	t(μs)	No.	V(kV)	t(μs)	No.	V(kV)	t(μs)
1	192.50	4.11	14	192.50	4.39	27	189.87	4.44	40	187.41	4.58
2	192.50	4.54	15	191.19	3.84	28	187.41	4.66	41	188.56	4.41
3	192.50	4.58	16	192.50	5.82	29	191.19	5.33	42	188.56	4.35
4	192.50	6.62	17	189.87	4.59	30	188.56	4.30	43	187.41	4.33
5	192.50	3.94	18	192.50	4.37	31	191.19	4.36	44	187.41	4.25
6	192.50	3.90	19	189.87	4.05	32	189.87	4.63	45	187.41	5.12
7	192.50	4.08	20	189.87	4.98	33	188.56	4.06	46	187.41	4.71
8	192.50	4.51	21	188.56	4.30	34	192.50	3.86	47	187.41	4.65
9	192.50	4.32	22	189.87	4.14	35	187.41	4.22	48	187.41	4.12
10	192.50	4.69	23	191.19	4.73	36	188.56	4.53	49	191.19	4.93
11	192.50	5.24	24	191.19	4.38	37	189.87	5.38	50	189.87	5.47
12	192.50	4.77	25	192.50	5.21	38	187.41	4.53	$V_{avg}=190.28$ kV		
13	192.50	4.45	26	189.87	5.16	39	187.41	5.00			
Level 2 : T=26°C,h=58%,P=765mmHg											
No.	V(kV)	t(μs)	No.	V(kV)	t(μs)	No.	V(kV)	t(μs)	No.	V(kV)	t(μs)
1	202.68	3.98	14	202.68	3.94	27	205.31	3.82	40	202.68	4.11
2	202.68	3.93	15	202.68	3.70	28	205.31	3.38	41	202.68	3.88
3	202.68	4.03	16	201.53	4.16	29	205.31	4.02	42	202.68	4.33
4	202.68	3.41	17	202.68	3.81	30	204.00	3.96	43	202.68	3.91
5	202.68	3.73	18	202.68	3.73	31	202.68	3.92	44	202.68	3.92
6	202.68	4.06	19	202.68	4.14	32	202.68	4.21	45	202.68	3.94
7	202.68	3.30	20	202.68	3.79	33	202.68	3.61	46	202.68	3.99
8	201.53	4.16	21	202.68	3.86	34	202.68	3.95	47	202.68	4.22
9	202.68	3.80	22	205.31	3.74	35	202.68	4.16	48	202.68	3.89
10	202.68	3.82	23	202.68	3.62	36	202.68	4.42	49	202.68	3.61
11	202.68	4.17	24	202.68	4.80	37	202.68	3.92	50	202.68	3.68
12	202.68	3.44	25	205.31	3.69	38	202.68	3.98	$V_{avg}=202.93$ kV		
13	202.68	4.05	26	202.68	4.03	39	202.68	4.33			
Level 3 : T=28°C,h=50%,P=765mmHg											
No.	V(kV)	t(μs)	No.	V(kV)	t(μs)	No.	V(kV)	t(μs)	No.	V(kV)	t(μs)
1	223.22	2.83	14	224.53	2.99	27	224.53	2.64	40	223.22	3.03
2	223.22	2.75	15	223.22	2.82	28	223.22	2.74	41	223.22	3.04
3	223.22	2.92	16	223.22	2.95	29	223.22	2.93	42	223.22	2.81
4	223.22	2.85	17	223.22	2.90	30	223.22	2.92	43	223.22	2.84
5	223.22	2.71	18	223.22	2.88	31	223.22	2.73	44	223.22	2.80
6	223.22	2.94	19	223.22	2.98	32	223.22	3.08	45	223.22	3.00
7	223.22	2.84	20	223.22	2.76	33	223.22	2.86	46	223.22	2.99
8	223.22	2.89	21	223.22	2.85	34	223.22	3.13	47	223.22	2.90
9	223.22	2.87	22	223.22	2.65	35	223.22	2.81	48	223.22	3.09
10	223.22	2.88	23	223.22	2.82	36	223.22	3.07	49	223.22	2.81
11	223.22	2.74	24	224.53	2.78	37	223.22	2.89	50	223.22	2.79
12	223.22	3.02	25	223.22	2.99	38	223.22	2.81	$V_{avg}=223.29$ kV		
13	223.22	2.77	26	223.22	2.67	39	223.22	3.11			
Level 4 : T=29°C,h=48%,P=764.5mmHg											
No.	V(kV)	t(μs)	No.	V(kV)	t(μs)	No.	V(kV)	t(μs)	No.	V(kV)	t(μs)
1	282.35	1.87	14	282.35	1.87	27	279.72	1.82	40	279.72	1.98

2	282.35	1.84	15	282.35	1.84	28	279.72	1.97	41	279.72	1.89
3	282.35	1.77	16	282.35	1.77	29	279.72	1.93	42	279.72	2.08
4	281.03	1.92	17	281.03	1.92	30	279.72	1.90	43	279.72	1.83
5	282.35	1.83	18	282.35	1.83	31	279.72	1.81	44	279.72	1.89
6	282.35	1.87	19	282.35	1.87	32	282.35	1.89	45	279.72	1.81
7	281.03	1.88	20	281.03	1.88	33	279.72	1.96	46	279.72	1.82
8	282.35	1.86	21	282.35	1.86	34	279.72	1.82	47	279.72	1.81
9	282.35	1.91	22	282.35	1.91	35	279.72	1.94	48	279.72	1.67
10	281.03	1.93	23	281.03	1.93	36	279.72	2.00	49	279.72	1.98
11	279.72	2.01	24	279.72	2.01	37	279.72	1.75	50	279.72	1.93
12	279.72	2.00	25	279.72	2.00	38	279.72	1.92			
13	279.72	1.85	26	279.72	1.85	39	279.72	1.89			

Level 5 : T=25°C,h=44%,P=766mmHg

No.	V(kV)	t(μs)									
1	345.25	1.33	14	345.25	1.36	27	345.25	1.30	40	343.94	1.35
2	345.25	1.29	15	345.25	1.38	28	345.25	1.25	41	342.63	1.39
3	345.25	1.37	16	342.63	1.42	29	345.25	1.32	42	342.63	1.38
4	345.25	1.28	17	345.25	1.35	30	341.31	1.33	43	342.63	1.37
5	345.25	1.37	18	345.25	1.29	31	342.63	1.36	44	342.63	1.33
6	345.25	1.34	19	345.25	1.41	32	342.63	1.31	45	342.63	1.36
7	345.25	1.37	20	345.25	1.36	33	341.31	1.41	46	342.63	1.32
8	345.25	1.38	21	345.25	1.37	34	343.94	1.34	47	342.63	1.31
9	345.25	1.27	22	345.25	1.33	35	343.94	1.40	48	342.63	1.33
10	345.25	1.37	23	341.31	1.32	36	342.63	1.36	49	342.63	1.35
11	345.25	1.30	24	342.63	1.36	37	342.63	1.35	50	342.63	1.40
12	345.25	1.34	25	343.94	1.37	38	342.63	1.39			
13	345.25	1.38	26	345.25	1.40	39	342.63	1.32			

Vavg=280.3 kV

ตารางที่ ค.2 แรงดันเบรกดาวน์และเวลาเบรกดาวน์ รูปคลื่น 1.2/50 μs ขั้วลบ แกบ 28.5 cm

Level 1 : T=25°C,h=45%,P=764mmHg											
No.	V(kV)	t(μs)	No.	V(kV)	t(μs)	No.	V(kV)	t(μs)	No.	V(kV)	t(μs)
1	224.53	4.13	14	223.22	3.91	27	224.53	3.58	40	227.16	4.20
2	224.53	3.96	15	223.22	3.83	28	224.53	4.10	41	225.84	3.94
3	224.53	4.44	16	227.16	3.51	29	224.53	4.46	42	225.84	4.14
4	224.53	3.63	17	225.84	4.02	30	224.53	3.94	43	224.53	3.92
5	224.53	4.16	18	224.53	3.70	31	224.53	3.93	44	224.53	4.30
6	224.53	4.18	19	224.53	3.89	32	224.53	3.87	45	224.53	4.27
7	224.53	4.22	20	224.53	3.81	33	224.53	4.15	46	224.53	3.82
8	224.53	4.30	21	224.53	4.05	34	224.53	4.39	47	224.53	4.07
9	224.53	4.32	22	224.53	4.23	35	225.84	3.91	48	224.53	4.13
10	224.53	4.03	23	224.53	4.23	36	224.53	4.09	49	224.53	4.07
11	224.53	4.12	24	227.16	4.12	37	224.53	3.73	50	224.53	3.97
12	224.53	3.88	25	225.84	4.16	38	224.53	3.92			
13	224.53	4.15	26	223.22	3.18	39	224.53	4.06			

Vavg=224.74 kV

Level 2 : T=24°C,h=53%,P=765mmHg											
No.	V(kV)	t(μs)	No.	V(kV)	t(μs)	No.	V(kV)	t(μs)	No.	V(kV)	t(μs)
1	274.63	2.45	14	277.25	2.48	27	277.25	2.47	40	277.25	2.79
2	274.63	2.78	15	277.25	2.55	28	277.25	2.67	41	277.25	2.38
3	274.63	2.69	16	277.25	2.49	29	277.25	2.40	42	277.25	2.49
4	274.63	2.71	17	277.25	2.60	30	277.25	2.70	43	277.25	2.39
5	277.25	2.74	18	277.25	2.67	31	277.25	2.57	44	277.25	2.65
6	277.25	2.32	19	277.25	2.35	32	277.25	2.54	45	277.25	2.54
7	277.25	2.65	20	277.25	2.53	33	277.25	2.53	46	277.25	2.49
8	277.25	2.33	21	277.25	2.43	34	277.25	2.54	47	277.25	2.47
9	277.25	2.47	22	277.25	2.54	35	277.25	2.62	48	277.25	2.43
10	277.25	2.72	23	277.25	2.70	36	277.25	2.68	49	277.25	2.40
11	277.25	2.49	24	277.25	2.44	37	277.25	2.38	50	277.25	2.57
12	277.25	2.59	25	277.25	2.37	38	277.25	2.45			

Vavg=277.04 kV

13	277.25	2.48	26	277.25	2.42	39	277.25	2.35			
Level 3 : T=27°C,h=41%,P=763mmHg											
No.	V(kV)	t(μs)	No.	V(kV)	t(μs)	No.	V(kV)	t(μs)	No.	V(kV)	t(μs)
1	302.88	1.91	14	301.56	2.11	27	301.56	2.11	40	301.56	2.03
2	302.88	2.00	15	301.56	2.00	28	301.56	2.07	41	301.56	1.95
3	301.56	2.00	16	301.56	2.07	29	301.56	2.02	42	301.56	2.02
4	301.56	2.02	17	301.56	2.12	30	301.56	2.14	43	301.56	1.98
5	301.56	2.08	18	301.56	2.03	31	301.56	2.08	44	301.56	2.11
6	301.56	2.00	19	301.56	2.02	32	301.56	2.14	45	301.56	2.16
7	301.56	2.01	20	301.56	2.08	33	301.56	2.26	46	301.56	2.11
8	301.56	1.99	21	301.56	2.25	34	301.56	2.05	47	301.56	2.13
9	301.56	2.21	22	301.56	2.01	35	301.56	2.12	48	301.56	2.04
10	301.56	2.00	23	301.56	2.06	36	301.56	2.16	49	301.56	2.01
11	301.56	2.04	24	301.56	2.02	37	301.56	2.10	50	301.56	1.96
12	301.56	2.02	25	301.56	1.90	38	301.56	1.98	$V_{avg}=301.62 \text{ kV}$		
13	301.56	1.93	26	301.56	2.04	39	301.56	1.89			
Level 4 : T=25°C,h=42%,P=763mmHg											
No.	V(kV)	t(μs)	No.	V(kV)	t(μs)	No.	V(kV)	t(μs)	No.	V(kV)	t(μs)
1	350.35	1.51	14	351.66	1.52	27	350.35	1.54	40	350.35	1.55
2	352.81	1.53	15	350.35	1.53	28	350.35	1.43	41	350.35	1.64
3	352.81	1.47	16	350.35	1.52	29	350.35	1.54	42	350.35	1.53
4	352.81	1.44	17	350.35	1.55	30	350.35	1.43	43	350.35	1.52
5	352.81	1.55	18	350.35	1.62	31	350.35	1.49	44	350.35	1.37
6	352.81	1.45	19	350.35	1.53	32	350.35	1.45	45	350.35	1.58
7	352.81	1.50	20	350.35	1.52	33	350.35	1.54	46	350.35	1.47
8	352.81	1.43	21	350.35	1.57	34	350.35	1.53	47	350.35	1.43
9	352.81	1.58	22	350.35	1.43	35	350.35	1.46	48	350.35	1.44
10	352.81	1.48	23	350.35	1.53	36	350.35	1.56	49	350.35	1.51
11	352.81	1.36	24	350.35	1.58	37	350.35	1.52	50	350.35	1.39
12	352.81	1.57	25	350.35	1.62	38	350.35	1.59	$V_{avg}=350.91 \text{ kV}$		
13	350.35	1.52	26	350.35	1.51	39	350.35	1.39			

ตารางที่ ค.3 แรงดันเบรกดาวน์และเวลาเบรกดาวน์ รูปคลื่น 5/50 μs ขั้วบวก แกบ 10 cm

Level 1 : T=31°C,h=67%,P=757mmHg											
No.	V(kV)	t(μs)	No.	V(kV)	t(μs)	No.	V(kV)	t(μs)	No.	V(kV)	t(μs)
1	102.88	3.88	14	106.00	4.56	27	106.39	4.60	40	104.83	4.28
2	102.88	5.00	15	106.00	4.40	28	104.05	4.28	41	103.66	4.28
3	104.05	4.20	16	106.00	4.36	29	102.49	4.04	42	101.32	3.92
4	101.71	4.24	17	105.22	4.20	30	104.44	4.48	43	102.49	4.28
5	102.49	4.12	18	106.00	4.40	31	101.71	4.12	44	104.05	4.36
6	104.44	4.20	19	103.66	4.24	32	103.66	4.32	45	104.83	4.36
7	106.00	4.48	20	106.78	4.64	33	109.12	5.52	46	97.43	4.60
8	106.39	4.48	21	104.83	4.40	34	101.71	3.92	47	103.66	4.20
9	103.27	4.00	22	106.00	4.56	35	104.05	4.16	48	106.39	4.68
10	103.27	4.04	23	109.90	5.24	36	111.06	5.60	49	103.27	3.96
11	104.83	4.28	24	111.45	5.84	37	106.00	4.32	50	107.56	4.84
12	105.22	4.28	25	105.61	4.16	38	105.22	4.44	$V_{avg}=104.78 \text{ kV}$		
13	104.83	4.20	26	105.22	4.28	39	104.83	4.48			
Level 2 : T=31°C,h=67%,P=756mmHg											
No.	V(kV)	t(μs)	No.	V(kV)	t(μs)	No.	V(kV)	t(μs)	No.	V(kV)	t(μs)
1	113.79	3.22	14	119.64	3.74	27	122.76	3.84	40	121.59	3.96
2	111.45	3.02	15	120.81	3.80	28	113.01	3.12	41	110.67	3.04
3	126.65	4.36	16	124.70	4.72	29	125.87	4.36	42	115.35	3.36
4	123.92	4.20	17	122.37	3.92	30	123.15	4.04	43	111.84	3.12
5	114.18	3.26	18	116.91	3.44	31	114.57	3.28	44	127.04	4.52
6	118.86	3.62	19	113.01	3.16	32	127.43	4.68	45	119.64	3.60
7	113.40	3.14	20	127.82	4.72	33	110.67	3.08	46	113.79	3.20
8	116.13	3.36	21	135.23	6.60	34	111.45	3.12	47	113.01	3.20

5	173.03	1.05	18	180.82	1.09	31	177.70	1.08	44	180.04	1.08
6	176.92	1.08	19	177.70	1.06	32	176.14	1.07	45	178.48	1.07
7	171.47	1.07	20	173.81	1.05	33	178.48	1.10	46	180.04	1.10
8	178.48	1.10	21	175.37	1.06	34	178.48	1.08	47	178.48	1.09
9	178.48	1.09	22	176.14	1.07	35	178.48	1.06	48	176.92	1.05
10	178.48	1.07	23	179.26	1.08	36	179.26	1.06	49	175.37	1.08
11	174.59	1.06	24	176.14	1.05	37	178.48	1.07	50	179.26	1.07
12	177.70	1.09	25	173.03	1.04	38	177.70	1.12	$V_{avg}=176.99 \text{ kV}$		
13	178.48	1.10	26	176.92	1.06	39	175.37	1.06			

ตารางที่ ค.5 แรงดันเบรกดาวน์และเวลาเบรกดาวน์ รูปคลื่น 5/50 μs ขั้วบวก แกบ 28.5 cm

Level 1 : T=29°C,h=64%,P=757mmHg											
No.	V(kV)	t(μs)	No.	V(kV)	t(μs)	No.	V(kV)	t(μs)	No.	V(kV)	t(μs)
1	210.90	7.39	14	209.91	6.86	27	210.40	6.97	40	207.94	6.32
2	213.03	9.31	15	208.43	6.38	28	210.90	7.54	41	210.40	7.21
3	207.94	6.17	16	209.42	6.73	29	209.42	6.43	42	210.40	7.29
4	210.40	7.11	17	207.28	5.84	30	207.28	6.02	43	206.79	6.42
5	210.90	10.86	18	209.91	6.52	31	209.91	6.78	44	209.42	6.38
6	209.91	6.82	19	211.55	7.99	32	209.91	6.46	45	209.42	6.62
7	207.28	5.83	20	209.42	6.31	33	206.30	5.64	46	208.93	6.70
8	207.28	5.84	21	209.91	6.97	34	209.42	6.68	47	210.40	7.06
9	209.91	7.05	22	207.94	6.07	35	205.81	5.57	48	210.40	6.69
10	207.28	6.00	23	209.91	6.48	36	209.42	7.16	49	210.90	7.66
11	205.31	5.62	24	207.28	5.80	37	207.94	6.02	50	211.55	7.80
12	205.81	5.81	25	207.28	5.82	38	206.30	5.72	$V_{avg}=208.95 \text{ kV}$		
13	206.79	9.11	26	208.43	6.27	39	208.43	6.43			
Level 2 : T=31°C,h=44%,P=760mmHg											
No.	V(kV)	t(μs)	No.	V(kV)	t(μs)	No.	V(kV)	t(μs)	No.	V(kV)	t(μs)
1	228.47	4.35	14	227.16	4.24	27	230.94	4.44	40	227.16	4.31
2	228.47	4.37	15	228.47	4.38	28	225.84	4.09	41	230.94	4.54
3	227.16	4.23	16	227.16	4.04	29	225.84	4.16	42	233.56	4.63
4	227.16	4.28	17	227.16	4.19	30	228.47	4.20	43	233.56	4.63
5	227.16	4.21	18	227.16	4.08	31	230.94	4.40	44	230.94	4.46
6	227.16	4.25	19	227.16	4.31	32	232.25	4.43	45	229.62	4.23
7	229.62	4.28	20	228.47	4.18	33	228.47	4.15	46	236.19	4.98
8	229.62	4.40	21	229.62	4.24	34	229.62	4.27	47	227.16	4.12
9	227.16	4.24	22	232.25	4.58	35	230.94	4.32	48	225.84	4.21
10	230.94	4.47	23	225.84	4.11	36	230.94	4.32	49	229.62	4.34
11	227.16	4.08	24	232.25	4.48	37	229.62	4.14	50	228.47	4.28
12	234.88	4.80	25	229.62	4.18	38	230.94	4.42	$V_{avg}=229.64 \text{ kV}$		
13	232.25	4.40	26	238.66	5.14	39	236.19	4.90			
Level 3 : T=28°C,h=65%,P=760mmHg											
No.	V(kV)	t(μs)	No.	V(kV)	t(μs)	No.	V(kV)	t(μs)	No.	V(kV)	t(μs)
1	252.78	3.46	14	249.00	3.43	27	252.78	3.52	40	246.38	3.52
2	252.78	3.55	15	250.15	3.50	28	249.00	3.48	41	251.47	3.67
3	255.41	3.65	16	245.06	3.52	29	250.15	3.78	42	251.47	3.54
4	255.41	3.43	17	245.06	3.49	30	252.78	3.69	43	245.06	3.40
5	252.78	3.45	18	256.56	3.69	31	251.47	3.84	44	254.09	3.79
6	251.47	3.59	19	247.69	3.44	32	249.00	3.66	45	247.69	3.52
7	252.78	3.72	20	245.06	3.25	33	245.06	3.41	46	241.28	3.50
8	252.78	3.54	21	249.00	3.49	34	249.00	3.44	47	250.15	3.48
9	252.78	3.41	22	250.15	3.34	35	249.00	3.53	48	245.06	3.49
10	251.47	3.46	23	247.69	3.55	36	245.06	3.46	49	247.69	3.53
11	251.47	3.62	24	249.00	3.56	37	245.06	3.41	50	254.09	3.63
12	245.06	3.53	25	249.00	3.78	38	245.06	3.40	$V_{avg}=249.66 \text{ kV}$		
13	252.78	3.65	26	249.00	3.63	39	252.78	3.75			
Level 4 : T=30°C,h=73%,P=759mmHg											
No.	V(kV)	t(μs)	No.	V(kV)	t(μs)	No.	V(kV)	t(μs)	No.	V(kV)	t(μs)

6	114.18	1.55	19	113.40	1.45	32	113.01	1.51	45	113.01	1.41
7	113.40	1.53	20	113.79	1.47	33	112.23	1.51	46	113.40	1.45
8	114.57	1.53	21	113.40	1.45	34	113.01	1.41	47	113.40	1.49
9	113.01	1.41	22	114.57	1.47	35	113.01	1.43	48	113.40	1.51
10	113.79	1.51	23	113.79	1.43	36	113.79	1.43	49	113.40	1.47
11	113.40	1.45	24	113.79	1.47	37	113.79	1.49	50	113.40	1.47
12	113.01	1.41	25	113.79	1.43	38	113.01	1.45			
13	113.40	1.45	26	112.62	1.47	39	113.01	1.49			
$V_{avg}=113.28 \text{ kV}$											

Level 4 : T=27°C, h=74%, P=761mmHg

No.	V(kV)	t(μs)	No.	V(kV)	t(μs)	No.	V(kV)	t(μs)	No.	V(kV)	t(μs)
1	143.41	1.11	14	141.85	1.12	27	141.85	1.09	40	141.85	1.11
2	144.19	1.15	15	141.85	1.12	28	141.07	1.10	41	140.29	1.11
3	144.19	1.11	16	143.41	1.15	29	141.85	1.11	42	140.29	1.10
4	144.19	1.12	17	143.41	1.15	30	140.29	1.13	43	141.85	1.10
5	142.63	1.11	18	141.85	1.11	31	142.63	1.16	44	139.51	1.08
6	143.41	1.12	19	141.85	1.08	32	141.07	1.09	45	141.07	1.13
7	143.41	1.09	20	142.63	1.12	33	141.85	1.14	46	141.07	1.14
8	143.41	1.10	21	141.07	1.11	34	139.51	1.10	47	138.73	1.13
9	143.41	1.13	22	141.07	1.07	35	140.29	1.10	48	139.51	1.11
10	143.41	1.13	23	141.85	1.12	36	143.41	1.10	49	141.85	1.14
11	143.41	1.07	24	144.97	1.13	37	140.29	1.11	50	141.07	1.09
12	143.41	1.10	25	141.85	1.13	38	141.85	1.13			
13	141.07	1.08	26	141.07	1.12	39	141.85	1.16			
$V_{avg}=141.94 \text{ kV}$											

Level 5 : T=27°C, h=74%, P=761mmHg

No.	V(kV)	t(μs)	No.	V(kV)	t(μs)	No.	V(kV)	t(μs)	No.	V(kV)	t(μs)
1	185.50	0.65	14	186.28	0.65	27	187.06	0.64	40	190.95	0.66
2	190.17	0.65	15	187.06	0.66	28	183.94	0.63	41	186.28	0.65
3	190.17	0.65	16	188.61	0.66	29	191.73	0.66	42	188.61	0.65
4	188.61	0.66	17	187.06	0.64	30	187.06	0.64	43	187.06	0.66
5	190.17	0.65	18	187.84	0.65	31	187.06	0.64	44	183.94	0.64
6	183.16	0.65	19	189.39	0.66	32	190.17	0.66	45	190.17	0.66
7	190.95	0.65	20	183.94	0.64	33	188.61	0.65	46	187.06	0.65
8	190.95	0.66	21	188.61	0.64	34	189.39	0.66	47	190.17	0.65
9	185.50	0.66	22	190.95	0.66	35	189.39	0.66	48	188.61	0.65
10	186.28	0.67	23	186.28	0.64	36	181.60	0.64	49	190.95	0.65
11	186.28	0.66	24	186.28	0.64	37	186.28	0.66	50	189.39	0.66
12	189.39	0.68	25	186.28	0.64	38	187.84	0.65			
13	187.06	0.65	26	187.06	0.65	39	185.50	0.64			
$V_{avg}=187.77 \text{ kV}$											

ตารางที่ ค.8 แรงดันเบรกดาวน์และเวลาเบรกดาวน์ รูปคลื่น 1.2/50 μs ข้าวลบ แกบ 10 cm

Level 1 : T=27°C, h=88%, P=756.5mmHg											
No.	V(kV)	t(μs)	No.	V(kV)	t(μs)	No.	V(kV)	t(μs)	No.	V(kV)	t(μs)
1	180.04	1.97	14	174.59	2.57	27	176.14	1.71	40	170.69	1.57
2	174.59	1.65	15	174.59	1.97	28	178.48	2.31	41	176.92	2.01
3	176.14	1.98	16	174.59	2.11	29	176.14	1.73	42	176.14	2.27
4	176.14	2.18	17	177.70	1.91	30	177.70	2.29	43	176.92	1.95
5	176.14	1.95	18	176.14	2.13	31	178.48	2.19	44	177.70	2.19
6	176.14	1.87	19	176.14	2.45	32	178.48	2.81	45	177.70	2.23
7	177.70	2.53	20	176.14	2.19	33	180.04	2.43	46	177.70	2.09
8	175.37	1.77	21	176.14	1.91	34	177.70	2.01	47	177.70	1.89
9	176.14	2.21	22	177.70	2.13	35	177.70	2.37	48	177.70	2.17
10	176.14	2.41	23	176.14	1.85	36	177.70	2.11	49	175.37	2.07
11	176.14	2.33	24	173.03	1.77	37	177.70	1.91	50	4.56	1.99
12	175.37	2.23	25	175.37	1.71	38	174.59	1.65			
13	175.37	2.33	26	178.48	2.19	39	176.92	2.01			
$V_{avg}=173.1 \text{ kV}$											

Level 2 : T=27°C, h=79%, P=760mmHg

No.	V(kV)	t(μs)									
1	181.60	1.34	14	184.72	1.57	27	183.94	1.58	40	183.16	1.65

13	169.91	6.12	26	169.13	8.12	39	169.91	6.20			
Level 2 : T=28°C,h=77%,P=761mmHg											
No.	V(kV)	t(μs)	No.	V(kV)	t(μs)	No.	V(kV)	t(μs)	No.	V(kV)	t(μs)
1	187.06	4.60	14	187.06	4.98	27	187.06	4.72	40	187.06	4.50
2	190.17	4.34	15	185.50	3.90	28	187.06	4.20	41	187.06	4.24
3	187.06	3.84	16	187.06	3.98	29	187.06	6.70	42	187.06	4.00
4	187.06	4.84	17	187.06	4.10	30	187.06	4.02	43	187.06	3.98
5	190.17	5.14	18	187.06	4.42	31	187.06	3.92	44	187.06	3.86
6	190.17	4.38	19	187.06	4.16	32	187.06	4.08	45	187.06	4.38
7	190.17	4.48	20	187.06	4.30	33	187.06	5.46	46	187.06	4.74
8	190.17	4.70	21	187.06	4.22	34	187.06	3.88	47	187.06	3.70
9	190.17	5.86	22	187.06	4.02	35	189.39	4.54	48	187.06	3.88
10	190.17	4.30	23	187.06	4.36	36	187.06	3.98	49	187.06	5.24
11	190.17	4.36	24	187.06	4.64	37	187.06	4.08	50	187.06	3.76
12	190.17	4.08	25	187.06	4.22	38	187.06	4.24			
13	187.06	4.58	26	187.06	4.30	39	187.06	4.16			
Vavg=187.63 kV											
Level 3 : T=27°C,h=75%,P=761mmHg											
No.	V(kV)	t(μs)	No.	V(kV)	t(μs)	No.	V(kV)	t(μs)	No.	V(kV)	t(μs)
1	280.58	1.72	14	280.58	1.68	27	282.14	1.78	40	283.70	1.80
2	280.58	1.74	15	280.58	1.68	28	282.14	1.80	41	282.14	1.82
3	283.70	1.80	16	280.58	1.78	29	283.70	1.78	42	283.70	1.84
4	280.58	1.64	17	277.47	1.56	30	283.70	1.76	43	282.14	1.78
5	282.14	1.74	18	279.03	1.86	31	283.70	1.92	44	280.58	1.84
6	280.58	1.80	19	280.58	1.82	32	283.70	1.82	45	283.70	1.82
7	279.03	1.78	20	280.58	1.68	33	282.14	1.82	46	282.14	1.84
8	283.70	1.86	21	280.58	1.82	34	280.58	1.80	47	282.14	1.80
9	282.14	1.76	22	280.58	1.82	35	282.14	1.82	48	283.70	1.96
10	280.58	1.76	23	280.58	1.86	36	282.14	1.82	49	279.03	1.82
11	279.03	1.76	24	280.58	1.72	37	282.14	1.80	50	282.14	1.88
12	280.58	1.78	25	282.14	1.74	38	283.70	1.76			
13	280.58	1.66	26	282.14	1.80	39	282.14	1.82			
Vavg=281.58 kV											
Level 4 : T=29°C,h=80%,P=761mmHg											
No.	V(kV)	t(μs)	No.	V(kV)	t(μs)	No.	V(kV)	t(μs)	No.	V(kV)	t(μs)
1	364.76	1.13	14	364.76	1.09	27	363.20	1.18	40	364.76	1.16
2	364.76	1.13	15	361.64	1.13	28	364.76	1.13	41	366.32	1.14
3	366.32	1.11	16	363.20	1.11	29	364.76	1.18	42	363.20	1.13
4	364.76	1.12	17	364.76	1.18	30	366.32	1.13	43	366.32	1.16
5	364.76	1.13	18	364.76	1.13	31	361.64	1.10	44	363.20	1.18
6	364.76	1.14	19	369.44	1.15	32	363.20	1.08	45	363.20	1.17
7	364.76	1.15	20	364.76	1.12	33	361.64	1.15	46	361.64	1.14
8	364.76	1.09	21	370.99	1.12	34	364.76	1.12	47	363.20	1.17
9	363.20	1.10	22	367.88	1.10	35	366.32	1.14	48	363.20	1.13
10	363.20	1.15	23	370.99	1.17	36	364.76	1.16	49	360.08	1.17
11	358.52	1.09	24	364.76	1.10	37	364.76	1.15	50	361.64	1.12
12	361.64	1.16	25	366.32	1.15	38	361.64	1.12			
13	361.64	1.15	26	369.44	1.13	39	363.20	1.15			
Vavg=364.39 kV											

ตารางที่ ค.10 แรงดันเบรกดาวน์และเวลาเบรกดาวน์ ชูปคลื่น 1.2/50 μs ข้าวลบ แกบ 28.5 cm

Level 1 : T=31°C,h=66%,P=761mmHg											
No.	V(kV)	t(μs)	No.	V(kV)	t(μs)	No.	V(kV)	t(μs)	No.	V(kV)	t(μs)
1	327.35	3.28	14	328.91	3.10	27	330.47	2.80	40	327.35	2.78
2	327.35	2.84	15	330.47	3.22	28	330.47	3.32	41	328.91	2.72
3	327.35	3.96	16	330.47	3.60	29	330.47	2.84	42	327.35	2.88
4	327.35	3.82	17	330.47	3.38	30	330.47	3.36	43	328.91	4.12
5	327.35	3.24	18	330.47	3.56	31	330.47	2.44	44	328.91	4.26
6	327.35	3.56	19	330.47	3.14	32	330.47	3.20	45	327.35	3.06
7	327.35	3.60	20	330.47	4.38	33	330.47	3.22	46	327.35	3.30
8	325.79	2.96	21	330.47	2.86	34	330.47	3.50	47	327.35	3.10

5	162.12	1.03	18	160.56	1.05	31	159.00	1.05	44	159.00	1.03
6	163.67	1.05	19	163.67	1.06	32	160.56	1.07	45	154.32	1.03
7	160.56	1.04	20	165.23	1.10	33	160.56	1.03	46	160.56	1.06
8	166.79	1.05	21	159.00	1.05	34	159.00	1.02	47	154.32	1.03
9	169.91	1.08	22	155.88	1.03	35	160.56	1.03	48	157.44	1.03
10	157.44	1.00	23	159.00	1.06	36	157.44	1.03	49	157.44	1.01
11	165.23	1.04	24	162.12	1.09	37	160.56	1.03	50	157.44	1.01
12	166.79	1.09	25	155.88	1.01	38	160.56	1.06			
13	152.76	0.99	26	160.56	1.07	39	160.56	1.05			
										Vavg=160.56 kV	

ตารางที่ ค.12 แรงดันเบรกด้านในและเวลาเบรกด้านใน รูปคลื่น 5/50 μ s ขั้วลบ แกบ 10 cm

Level 1 : T=27°C, h=63%, P=757mmHg											
No.	V(kV)	t(μs)	No.	V(kV)	t(μs)	No.	V(kV)	t(μs)	No.	V(kV)	t(μs)
1	181.60	3.95	14	174.59	3.75	27	177.70	3.95	40	173.03	3.80
2	200.31	14.55	15	173.81	3.75	28	194.07	9.75	41	174.59	4.00
3	197.19	20.65	16	182.38	4.55	29	193.29	24.95	42	168.35	3.70
4	195.63	28.45	17	166.79	3.25	30	193.29	35.30	43	165.23	3.30
5	200.31	14.55	18	193.29	15.65	31	193.29	7.50	44	174.59	3.70
6	197.97	19.45	19	181.60	4.55	32	177.70	4.00	45	178.48	3.90
7	180.82	3.95	20	194.07	9.45	33	173.81	3.70	46	191.73	5.70
8	175.37	3.65	21	194.07	26.35	34	166.79	3.40	47	173.81	3.80
9	170.69	3.25	22	194.07	6.55	35	179.26	4.10	48	194.85	22.00
10	178.48	4.15	23	176.14	3.85	36	169.13	3.60	49	172.25	3.60
11	181.60	4.25	24	180.82	4.05	37	164.45	3.30	50	194.85	9.80
12	176.92	3.95	25	174.59	3.75	38	170.69	3.70			
13	176.92	3.85	26	175.37	3.95	39	173.81	3.80			Vavg=181.29 kV
Level 2 : T=27°C, h=62%, P=757mmHg											
No.	V(kV)	t(μs)	No.	V(kV)	t(μs)	No.	V(kV)	t(μs)	No.	V(kV)	t(μs)
1	180.04	2.86	14	219.01	8.62	27	218.23	7.78	40	218.23	6.70
2	177.70	2.81	15	219.01	7.42	28	218.23	8.78	41	218.23	7.02
3	183.16	3.14	16	218.23	8.06	29	216.67	6.62	42	218.23	8.58
4	180.82	3.10	17	219.01	7.86	30	189.39	3.38	43	217.45	8.38
5	216.67	6.22	18	187.06	3.10	31	219.79	7.78	44	215.89	6.18
6	217.45	5.64	19	219.01	7.82	32	219.01	6.74	45	208.10	4.74
7	180.04	2.90	20	183.94	3.06	33	180.04	2.94	46	183.94	3.06
8	210.44	5.34	21	219.01	8.70	34	214.34	5.46	47	212.78	5.94
9	218.23	8.18	22	218.23	7.74	35	179.26	2.86	48	181.60	2.98
10	183.16	3.06	23	219.01	7.78	36	212.00	5.38	49	219.01	8.06
11	183.16	3.02	24	175.37	2.70	37	213.56	5.90	50	219.01	7.66
12	219.79	9.18	25	219.01	7.86	38	217.45	8.42			Vavg=205.93 kV
13	219.79	7.50	26	182.38	2.98	39	217.45	9.22			
Level 3 : T=27°C, h=60%, P=757mmHg											
No.	V(kV)	t(μs)	No.	V(kV)	t(μs)	No.	V(kV)	t(μs)	No.	V(kV)	t(μs)
1	195.63	2.36	14	193.29	2.18	27	196.41	2.24	40	186.28	2.04
2	187.84	2.12	15	200.31	2.28	28	230.70	3.26	41	194.07	2.26
3	201.86	2.32	16	229.14	3.14	29	194.07	2.22	42	201.86	2.34
4	194.07	2.18	17	234.60	3.20	30	201.86	2.34	43	226.81	3.08
5	188.61	2.10	18	193.29	2.16	31	205.76	2.48	44	206.54	2.52
6	188.61	2.14	19	194.85	2.20	32	183.16	2.06	45	187.06	2.16
7	222.91	2.94	20	195.63	2.20	33	190.95	2.18	46	219.01	2.74
8	212.78	2.62	21	224.47	3.06	34	192.51	2.22	47	206.54	2.46
9	194.07	2.20	22	238.50	3.32	35	242.39	3.84	48	195.63	2.30
10	205.76	2.40	23	197.97	2.28	36	195.63	2.20	49	208.10	2.50
11	225.25	2.86	24	191.73	2.18	37	194.07	2.18	50	191.73	2.16
12	207.32	2.42	25	205.76	2.48	38	194.07	2.20			Vavg=203.39 kV
13	183.94	2.02	26	197.97	2.36	39	218.23	2.72			
Level 4 : T=27°C, h=73%, P=757mmHg											
No.	V(kV)	t(μs)	No.	V(kV)	t(μs)	No.	V(kV)	t(μs)	No.	V(kV)	t(μs)

12	249.42	3.70	25	249.42	3.14	38	247.86	3.48	Vavg=248.67 kV		
Level 3 : T=31°C,h=63%,P=755mmHg											
No.	V(kV)	t(μs)	No.	V(kV)	t(μs)	No.	V(kV)	t(μs)	No.	V(kV)	t(μs)
1	300.86	2.26	14	299.30	2.24	27	299.30	2.40	40	299.30	2.22
2	300.86	2.32	15	300.86	2.36	28	299.30	2.36	41	300.86	2.22
3	300.86	2.26	16	300.86	2.20	29	300.86	2.32	42	300.86	2.20
4	300.86	2.20	17	300.86	2.32	30	300.86	2.16	43	299.30	2.30
5	300.86	2.14	18	299.30	2.32	31	300.86	2.38	44	299.30	2.28
6	300.86	2.34	19	299.30	2.26	32	299.30	2.26	45	300.86	2.18
7	300.86	2.26	20	299.30	2.28	33	300.86	2.36	46	299.30	2.32
8	300.86	2.34	21	299.30	2.26	34	299.30	2.26	47	300.86	2.10
9	299.30	2.22	22	299.30	2.26	35	300.86	2.30	48	300.86	2.34
10	302.42	2.18	23	299.30	2.26	36	300.86	2.34	49	300.86	2.14
11	300.86	2.36	24	299.30	2.40	37	300.86	2.22	50	299.30	2.26
12	300.86	2.26	25	299.30	2.36	38	299.30	2.28	Vavg=300.21 kV		
13	299.30	2.22	26	299.30	2.28	39	300.86	2.14			
Level 4 : T=31°C,h=73%,P=758mmHg											
No.	V(kV)	t(μs)	No.	V(kV)	t(μs)	No.	V(kV)	t(μs)	No.	V(kV)	t(μs)
1	358.54	1.55	14	360.10	1.58	27	360.10	1.57	40	358.54	1.55
2	361.66	1.58	15	360.10	1.58	28	360.10	1.59	41	356.98	1.52
3	358.54	1.56	16	360.10	1.54	29	361.66	1.60	42	356.98	1.54
4	358.54	1.61	17	360.10	1.57	30	360.10	1.55	43	360.10	1.52
5	358.54	1.53	18	360.10	1.58	31	360.10	1.59	44	360.10	1.52
6	361.66	1.51	19	360.10	1.55	32	360.10	1.58	45	360.10	1.56
7	360.10	1.54	20	360.10	1.61	33	358.54	1.60	46	360.10	1.55
8	360.10	1.56	21	360.10	1.57	34	358.54	1.60	47	360.10	1.53
9	361.66	1.54	22	358.54	1.53	35	358.54	1.50	48	360.10	1.53
10	358.54	1.56	23	358.54	1.60	36	361.66	1.58	49	360.10	1.50
11	361.66	1.52	24	358.54	1.59	37	360.10	1.56	50	360.10	1.55
12	361.66	1.56	25	358.54	1.60	38	360.10	1.57	Vavg=359.76 kV		
13	358.54	1.55	26	360.10	1.58	39	360.10	1.51			
Level 5 : T=31°C,h=73%,P=758mmHg											
No.	V(kV)	t(μs)	No.	V(kV)	t(μs)	No.	V(kV)	t(μs)	No.	V(kV)	t(μs)
1	440.38	0.98	14	428.69	1.01	27	440.38	0.95	40	440.38	0.99
2	444.28	0.98	15	444.28	0.97	28	440.38	1.01	41	436.48	0.95
3	440.38	0.96	16	436.48	0.97	29	440.38	0.99	42	440.38	0.98
4	440.38	1.02	17	440.38	0.98	30	444.28	0.99	43	436.48	0.96
5	440.38	0.99	18	440.38	0.98	31	436.48	0.99	44	444.28	0.98
6	444.28	0.99	19	440.38	0.98	32	440.38	1.00	45	436.48	0.98
7	440.38	1.01	20	440.38	0.98	33	444.28	0.99	46	432.59	0.99
8	440.38	1.00	21	436.48	0.96	34	440.38	0.99	47	436.48	0.99
9	440.38	1.02	22	436.48	1.00	35	444.28	0.99	48	440.38	1.01
10	440.38	0.98	23	440.38	0.98	36	440.38	0.99	49	440.38	1.00
11	436.48	0.98	24	444.28	1.00	37	444.28	1.01	50	444.28	0.99
12	440.38	0.98	25	440.38	0.98	38	444.28	1.04	Vavg=439.99 kV		
13	440.38	0.99	26	436.48	0.97	39	436.48	1.01			

ตารางที่ ค.20 แรงดันเบรกดาวน์และเวลาเบรกดาวน์ รูปคลื่น 1.2/50 μs ขัวลบ

Level 1 : T=31°C,h=57%,P=755mmHg											
No.	V(kV)	t(μs)	No.	V(kV)	t(μs)	No.	V(kV)	t(μs)	No.	V(kV)	t(μs)
1	263.45	6.90	14	263.45	6.30	27	261.89	8.04	40	261.89	6.52
2	263.45	6.00	15	261.89	7.30	28	261.89	4.72	41	261.89	7.02
3	261.89	4.80	16	261.89	6.32	29	261.89	7.70	42	261.89	5.36
4	261.89	4.18	17	263.45	7.40	30	261.89	4.40	43	261.89	5.56
5	261.89	3.82	18	263.45	6.28	31	261.89	4.98	44	263.45	7.44
6	261.89	6.56	19	263.45	5.86	32	261.89	5.30	45	261.89	3.36
7	261.89	3.58	20	263.45	3.68	33	261.89	4.38	46	261.89	2.98

8	448.17	0.89	21	436.48	0.81	34	452.07	0.85	47	455.97	0.85
9	448.17	0.88	22	436.48	0.83	35	455.97	0.93	48	432.59	0.77
10	459.87	0.88	23	440.38	0.83	36	448.17	0.86	49	436.48	0.79
11	459.87	0.83	24	455.97	0.86	37	448.17	0.90	50	440.38	0.79
12	436.48	0.84	25	448.17	0.85	38	452.07	0.84			
13	459.87	0.89	26	459.87	0.87	39	463.76	0.88			Vavg=442.87 kV

ตารางที่ ค.21 แรงดันเบรกดาวน์และเวลาเบรกดาวน์ รูปคลื่น 5/50 μs ขั้นบวก

Level 1 : T=31°C,h=53%,P=756mmHg											
No.	V(kV)	t(μs)	No.	V(kV)	t(μs)	No.	V(kV)	t(μs)	No.	V(kV)	t(μs)
1	221.36	7.55	14	221.36	7.50	27	220.58	9.75	40	221.36	7.60
2	222.92	9.20	15	220.58	7.65	28	221.36	7.30	41	222.14	7.90
3	222.92	7.35	16	221.36	7.60	29	221.36	7.30	42	222.14	7.90
4	222.14	8.00	17	221.36	7.15	30	221.36	7.55	43	222.14	7.80
5	221.36	7.95	18	220.58	7.30	31	221.36	7.70	44	220.58	6.55
6	222.92	8.70	19	220.58	7.25	32	222.92	8.00	45	222.14	7.80
7	222.92	7.45	20	221.36	7.30	33	220.58	7.00	46	222.14	7.05
8	222.14	7.70	21	222.14	8.15	34	220.58	6.95	47	222.92	7.80
9	222.14	8.20	22	222.92	8.40	35	220.58	6.75	48	222.92	8.20
10	222.14	7.95	23	222.92	7.80	36	223.70	7.80	49	221.36	8.15
11	221.36	7.80	24	222.92	9.40	37	220.58	7.25	50	222.14	7.50
12	221.36	7.15	25	223.70	9.90	38	220.58	7.35			Vavg=221.73 kV
13	219.80	6.90	26	220.58	7.25	39	221.36	7.35			
Level 2 : T=31°C,h=57%,P=757mmHg											
No.	V(kV)	t(μs)	No.	V(kV)	t(μs)	No.	V(kV)	t(μs)	No.	V(kV)	t(μs)
1	244.74	5.48	14	246.30	6.12	27	246.30	5.58	40	244.74	5.32
2	244.74	5.82	15	244.74	5.82	28	241.62	5.48	41	244.74	5.56
3	247.86	5.86	16	244.74	5.32	29	244.74	5.96	42	249.42	6.42
4	243.18	5.20	17	244.74	5.64	30	243.18	5.56	43	244.74	5.58
5	244.74	5.60	18	244.74	5.54	31	247.86	6.20	44	243.18	5.42
6	246.30	5.80	19	244.74	5.60	32	243.18	5.38	45	244.74	5.72
7	246.30	5.98	20	244.74	5.38	33	247.86	5.94	46	244.74	5.76
8	244.74	6.02	21	244.74	5.48	34	244.74	5.58	47	244.74	5.68
9	244.74	5.48	22	244.74	5.74	35	246.30	6.26	48	241.62	5.26
10	244.74	5.84	23	243.18	5.34	36	243.18	5.78	49	244.74	6.04
11	244.74	5.66	24	246.30	5.68	37	244.74	5.94	50	246.30	5.94
12	247.86	5.98	25	244.74	5.68	38	243.18	5.62			Vavg=245.05 kV
13	246.30	6.04	26	246.30	6.08	39	246.30	5.92			
Level 3 : T=31°C,h=55%,P=756mmHg											
No.	V(kV)	t(μs)	No.	V(kV)	t(μs)	No.	V(kV)	t(μs)	No.	V(kV)	t(μs)
1	303.98	3.20	14	302.42	3.04	27	303.98	3.26	40	305.54	3.10
2	303.98	3.17	15	302.42	3.25	28	303.98	3.24	41	302.42	3.20
3	303.98	3.29	16	302.42	3.17	29	303.98	3.09	42	308.66	3.11
4	303.98	3.20	17	302.42	3.17	30	303.98	3.14	43	300.86	3.18
5	302.42	3.14	18	307.10	3.18	31	303.98	3.15	44	307.10	3.25
6	300.86	3.19	19	303.98	3.19	32	302.42	3.29	45	300.86	3.23
7	303.98	3.08	20	303.98	3.18	33	303.98	3.34	46	300.86	3.17
8	300.86	3.06	21	303.98	3.14	34	305.54	3.20	47	302.42	3.13
9	300.86	3.20	22	303.98	3.30	35	305.54	3.27	48	302.42	3.26
10	302.42	3.29	23	303.98	3.03	36	303.98	3.20	49	307.10	3.13
11	302.42	3.19	24	300.86	3.23	37	303.98	3.27	50	303.98	3.04
12	302.42	3.32	25	303.98	3.05	38	303.98	3.23			Vavg=303.54 kV
13	300.86	3.18	26	305.54	3.26	39	305.54	3.18			
Level 4 : T=31°C,h=50%,P=756mmHg											
No.	V(kV)	t(μs)	No.	V(kV)	t(μs)	No.	V(kV)	t(μs)	No.	V(kV)	t(μs)
1	341.39	2.34	14	342.95	2.30	27	344.51	2.34	40	341.39	2.24
2	344.51	2.39	15	341.39	2.28	28	342.95	2.30	41	341.39	2.26
3	344.51	2.32	16	341.39	2.25	29	342.95	2.33	42	341.39	2.27

4	344.51	2.20	17	341.39	2.30	30	341.39	2.37	43	342.95	2.24
5	344.51	2.36	18	341.39	2.35	31	342.95	2.38	44	341.39	2.30
6	341.39	2.29	19	341.39	2.35	32	341.39	2.29	45	341.39	2.21
7	346.07	2.35	20	342.95	2.34	33	344.51	2.38	46	342.95	2.27
8	344.51	2.38	21	342.95	2.30	34	341.39	2.30	47	342.95	2.39
9	339.83	2.26	22	342.95	2.30	35	342.95	2.36	48	342.95	2.32
10	338.27	2.20	23	344.51	2.35	36	339.83	2.35	49	342.95	2.37
11	344.51	2.31	24	344.51	2.29	37	342.95	2.34	50	342.95	2.29
12	341.39	2.34	25	344.51	2.38	38	341.39	2.34			
13	341.39	2.35	26	341.39	2.30	39	341.39	2.37			Vavg=342.51 kV

Level 5 : T=31°C,h=47%,P=756mmHg

No.	V(kV)	t(μs)									
1	381.92	1.75	14	385.04	1.79	27	388.16	1.74	40	386.60	1.78
2	386.60	1.72	15	380.36	1.72	28	388.16	1.76	41	381.92	1.74
3	388.16	1.73	16	388.16	1.78	29	388.16	1.71	42	381.92	1.68
4	385.04	1.69	17	386.60	1.73	30	381.92	1.72	43	388.16	1.77
5	385.04	1.73	18	385.04	1.75	31	386.60	1.72	44	386.60	1.78
6	388.16	1.73	19	389.72	1.78	32	389.72	1.77	45	386.60	1.72
7	386.60	1.72	20	389.72	1.70	33	388.16	1.74	46	386.60	1.75
8	381.92	1.72	21	388.16	1.79	34	385.04	1.75	47	386.60	1.76
9	386.60	1.75	22	381.92	1.73	35	385.04	1.74	48	386.60	1.74
10	388.16	1.73	23	385.04	1.67	36	386.60	1.73	49	383.48	1.74
11	388.16	1.71	24	383.48	1.74	37	386.60	1.75	50	389.72	1.76
12	381.92	1.70	25	386.60	1.77	38	388.16	1.74			
13	388.16	1.76	26	389.72	1.77	39	385.04	1.73			Vavg=386.16 kV

ตารางที่ ค.22 แรงดันเบรกดาวน์และเวลาเบรกดาวน์ รูปคลื่น 5/50 μs ขั้วลบ

Level 1 : T=31°C,h=59%,P=759mmHg											
No.	V(kV)	t(μs)	No.	V(kV)	t(μs)	No.	V(kV)	t(μs)	No.	V(kV)	t(μs)
1	286.83	6.95	14	283.71	6.15	27	283.71	6.50	40	283.71	6.15
2	285.27	6.95	15	285.27	7.00	28	285.27	6.65	41	282.16	5.55
3	283.71	6.95	16	282.16	6.55	29	283.71	6.30	42	283.71	8.00
4	286.83	7.30	17	282.16	6.20	30	283.71	6.65	43	285.27	6.35
5	283.71	6.60	18	285.27	6.70	31	283.71	6.15	44	285.27	6.15
6	280.60	6.55	19	283.71	6.65	32	285.27	6.35	45	285.27	6.45
7	283.71	6.35	20	283.71	5.90	33	285.27	6.60	46	282.16	5.85
8	285.27	7.20	21	286.83	8.25	34	285.27	6.35	47	282.16	6.00
9	283.71	6.60	22	283.71	6.70	35	282.16	6.10	48	279.04	5.50
10	286.83	7.25	23	283.71	5.55	36	282.16	5.65	49	282.16	6.00
11	280.60	6.05	24	280.60	5.80	37	279.04	5.25	50	282.16	6.30
12	282.16	6.40	25	285.27	6.10	38	286.83	6.40			
13	282.16	6.65	26	285.27	6.75	39	283.71	5.85			Vavg=283.71 kV

Level 2 : T=31°C,h=49%,P=759mmHg

No.	V(kV)	t(μs)									
1	293.07	4.60	14	297.74	4.90	27	297.74	4.90	40	294.63	4.45
2	296.18	4.85	15	294.63	4.60	28	294.63	4.60	41	294.63	4.60
3	291.51	4.55	16	296.18	5.05	29	293.07	4.40	42	294.63	4.90
4	297.74	5.25	17	294.63	4.60	30	296.18	4.70	43	291.51	4.45
5	297.74	4.90	18	291.51	4.45	31	289.95	4.30	44	291.51	4.60
6	296.18	4.70	19	297.74	4.90	32	294.63	4.55	45	293.07	4.55
7	299.30	5.15	20	294.63	4.30	33	291.51	4.65	46	296.18	4.70
8	293.07	4.75	21	296.18	4.75	34	296.18	4.75	47	291.51	4.50
9	297.74	4.85	22	296.18	4.50	35	296.18	4.55	48	289.95	4.30
10	299.30	5.25	23	294.63	4.60	36	291.51	4.60	49	296.18	4.80
11	296.18	4.85	24	294.63	4.70	37	288.39	4.30	50	294.63	4.55
12	299.30	4.90	25	299.30	5.10	38	294.63	4.90			
13	296.18	4.80	26	297.74	4.55	39	297.74	4.65			Vavg=295 kV

Level 3 : T=32°C,h=40%,P=758mmHg

No.	V(kV)	t(μs)									
1	313.33	3.44	14	310.21	3.34	27	310.21	3.30	40	314.89	3.58
2	308.66	3.18	15	303.98	3.14	28	313.33	3.32	41	310.21	3.50
3	313.33	3.50	16	303.98	3.18	29	310.21	3.54	42	308.66	3.40
4	308.66	3.30	17	313.33	3.64	30	316.45	3.66	43	308.66	3.40
5	313.33	3.60	18	310.21	3.48	31	303.98	3.20	44	305.54	3.28
6	308.66	3.20	19	313.33	3.60	32	311.77	3.54	45	305.54	3.30
7	308.66	3.40	20	303.98	3.14	33	305.54	3.26	46	302.42	3.16
8	302.42	3.18	21	313.33	3.62	34	305.54	3.16	47	311.77	3.46
9	305.54	3.18	22	313.33	3.50	35	313.33	3.44	48	316.45	3.62
10	310.21	3.36	23	314.89	3.50	36	311.77	3.36	49	308.66	3.42
11	313.33	3.52	24	310.21	3.26	37	307.10	3.46	50	313.33	3.60
12	313.33	3.52	25	307.10	3.22	38	311.77	3.48			
13	308.66	3.40	26	310.21	3.32	39	314.89	3.48			

Level 4 : T=32°C,h=36%,P=756mmHg

No.	V(kV)	t(μs)									
1	332.04	2.60	14	332.04	2.60	27	330.48	2.56	40	325.80	2.42
2	333.60	2.42	15	327.36	2.60	28	327.36	2.58	41	330.48	2.60
3	332.04	2.54	16	328.92	2.56	29	336.72	2.68	42	319.57	2.32
4	336.72	2.64	17	332.04	2.70	30	322.69	2.40	43	325.80	2.52
5	332.04	2.50	18	324.24	2.34	31	325.80	2.42	44	328.92	2.50
6	328.92	2.50	19	325.80	2.46	32	322.69	2.40	45	332.04	2.54
7	327.36	2.44	20	325.80	2.44	33	328.92	2.56	46	332.04	2.66
8	333.60	2.58	21	325.80	2.48	34	328.92	2.48	47	333.60	2.66
9	328.92	2.42	22	332.04	2.50	35	324.24	2.48	48	328.92	2.56
10	324.24	2.44	23	328.92	2.54	36	328.92	2.52	49	327.36	2.48
11	324.24	2.44	24	322.69	2.34	37	328.92	2.50	50	327.36	2.44
12	325.80	2.58	25	322.69	2.44	38	328.92	2.50			
13	327.36	2.50	26	322.69	2.38	39	325.80	2.42			

Level 5: T=32°C,h=54%,P=756mmHg

No.	V(kV)	t(μs)									
1	372.57	1.71	14	372.57	1.65	27	374.13	1.77	40	367.89	1.71
2	374.13	1.80	15	371.01	1.75	28	369.45	1.71	41	374.13	1.76
3	377.25	1.80	16	366.33	1.75	29	371.01	1.71	42	378.80	1.77
4	366.33	1.71	17	371.01	1.78	30	369.45	1.72	43	372.57	1.76
5	369.45	1.73	18	367.89	1.72	31	371.01	1.73	44	372.57	1.70
6	369.45	1.76	19	372.57	1.76	32	374.13	1.81	45	371.01	1.74
7	369.45	1.70	20	371.01	1.77	33	366.33	1.70	46	372.57	1.70
8	371.01	1.78	21	369.45	1.69	34	378.80	1.82	47	369.45	1.68
9	377.25	1.82	22	371.01	1.78	35	371.01	1.77	48	377.25	1.79
10	369.45	1.79	23	378.80	1.80	36	371.01	1.78	49	369.45	1.66
11	372.57	1.74	24	367.89	1.78	37	375.69	1.74	50	367.89	1.65
12	374.13	1.83	25	375.69	1.77	38	369.45	1.68			
13	364.78	1.70	26	367.89	1.72	39	364.78	1.70			

Vavg=371.42 kV

ภาคผนวก ง.

ข้อมูลจากวิธีปรับระดับแรงดันขึ้นลง

ง.1 ข้อมูลจากวิธีปรับระดับแรงดันขึ้นลง กรณีอิเล็กโทรดแบบ rod-rod

ตารางที่ ง.1 ข้อมูลจากวิธีปรับระดับแรงดันขึ้นลง รูปคลื่น 1.2/50 μs ข้าบวก แกป 28.5 cm

ระดับที่	ค่ายอดอิมพัลส์(kV)	1	2	3	4	5	6	7	8	9	10	11	12	13	14	15	16	17	18	19	20	21	22	23	24	25	26	27	28	29	30
1	197.26																			1											
2	192.01																		1	0	1	1	1	1				1			
3	186.75		1	1	1	1			1		1		1		0	0				0	0	1	0	1				1			
4	181.50	0	0	0	0	0	0	0	0	0	0	0	0	0											0						

สภาพอากาศ T=27°C,h=52%,P=763mmHg V_{50%}=186.58 kV σ=3.491

ตารางที่ ง.2 ข้อมูลจากวิธีปรับระดับแรงดันขึ้นลง รูปคลื่น 1.2/50 μs ข้าบวน แกป 28.5 cm

ระดับที่	ค่ายอดอิมพัลส์(kV)	1	2	3	4	5	6	7	8	9	10	11	12	13	14	15	16	17	18	19	20	21	22	23	24	25	26	27	28	29	30
1	223.05																1														
2	217.47															1	0	1	1								1				
3	211.88			1								0	0				0	1								0	1				
4	206.30		0	1	1				0										1	1					0			1			
5	200.71	0			0	1	0												0	1	0										

สภาพอากาศ T=28°C,h=48%,P=763mmHg V_{50%}=207.97 kV σ=12.61

ตารางที่ ง.3 ข้อมูลจากวิธีปรับระดับแรงดันขึ้นลง รูปคลื่น 5/50 μ s ขั้นบวก แก palp 10 cm

ระดับที่	ค่ายอดอิมพัลส์(kV)	1	2	3	4	5	6	7	8	9	10	11	12	13	14	15	16	17	18	19	20	21	22	23	24	25	26	27	28	29	30
1	127.04																					1	1		1	1					
2	122.76								1												1	0	0	0	0	1					
3	118.47					1	1		0		1								0	0									0		
4	114.18	1		1	0	0				1	1	1		0																	
5	109.90		0										0	0	0																

สภาพอากาศ T=31°C,h=66%,P=756mmHg $V_{50\%}=118.33$ kV $\sigma=9.42$

ตารางที่ ง.4 ข้อมูลจากวิธีปรับระดับแรงดันขึ้นลง รูปคลื่น 5/50 μ s ขั้นลบ แก palp 10 cm

ระดับที่	ค่ายอดอิมพัลส์(kV)	1	2	3	4	5	6	7	8	9	10	11	12	13	14	15	16	17	18	19	20	21	22	23	24	25	26	27	28	29	30
1	122.37						1																								
2	118.08					0		1				1				1	1				1										
3	113.79		0					1		0		1	0		0	1		0	1												
4	109.51	0						0				0					0				1										
5	105.22																						1	1		1				1	
6	100.93																					0	0	1	0						
7	96.65																									0					

สภาพอากาศ T=30°C,h=72%,P=757mmHg $V_{50\%}=110.79$ kV $\sigma=17.58$

ตารางที่ ง.5 ข้อมูลจากวิธีปรับระดับแรงดันขึ้นลง รูปคลื่น 5/50 μ s ขั้นบวก แก palp 28.5 cm

ระดับที่	ค่ายอดอิมพัลส์(kV)	1	2	3	4	5	6	7	8	9	10	11	12	13	14	15	16	17	18	19	20	21	22	23	24	25	26	27	28	29	30
1	518.69																			1											

2	505.05														1	0		1																			
3	491.41														1	0	0		1																		
4	477.77	1													0	0											1	1	0		0						
5	464.13		1	1	1	1							0													0	0										
6	450.49			0	0	0		1	0																												
7	436.85									0																											

สภาพอากาศ T=31°C, h=40%, P=760mmHg $V_{50\%}=200.41$ kV $\sigma=20.81$

ตารางที่ ง.6 ข้อมูลจากวิธีปรับระดับแรงดันขึ้นลง รูปคลื่น 5/50 μ s ขัวลบ แกบ 28.5 cm

ระดับที่	ค่ายอดอิมพัลส์(kV)	1	2	3	4	5	6	7	8	9	10	11	12	13	14	15	16	17	18	19	20	21	22	23	24	25	26	27	28	29	30					
1	286.04								1		1				1	1	1	1	1	1					1	1	1									
2	275.91	1							0		0	1			0	0	0	0	0	0	0	1		0	0	0	0	0	0	0						
3	265.78		1		1		0							0										0												
4	255.64			0	0																															

สภาพอากาศ T=27°C, h=72%, P=757mmHg $V_{50\%}=276.25$ kV $\sigma=8.925$

ง.2 ข้อมูลจากวิธีปรับระดับแรงดันขึ้นลง กรณีอิเล็กโทรดแบบ rod-plane

ตารางที่ ง.7 ข้อมูลจากวิธีปรับระดับแรงดันขึ้นลง รูปคลื่น 1.2/50 μ s ขัวขวา แกบ 10 cm

ระดับที่	ค่ายอดอิมพัลส์(kV)	1	2	3	4	5	6	7	8	9	10	11	12	13	14	15	16	17	18	19	20	21	22	23	24	25	26	27	28	29	30				
1	88.07																									1									
2	86.12		1		1	1		1								1										0		1							
3	84.18	0		0	0		0		1		1		0		0		1		1		1		1	0		1	0		0		1				
4	82.23												0		0			1		0		1		0		0								1	

5	80.28	0	0																						
---	-------	---	---	--	--	--	--	--	--	--	--	--	--	--	--	--	--	--	--	--	--	--	--	--	--

สภาพอากาศ T=27°C, h=67%, P=757mmHg $V_{50\%}=83.98 \text{ kV}$ $\sigma=2.117$

ตารางที่ ง.8 ข้อมูลจากวิธีปรับระดับแรงดันขึ้นลง รูปคลื่น 1.2/50 μs ขัวลบ แกบ 10 cm

ระดับที่	ค่ายอดอิมพัลส์(kV)	1	2	3	4	5	6	7	8	9	10	11	12	13	14	15	16	17	18	19	20	21	22	23	24	25	26	27	28	29	30
1	171.47																												0		
2	166.79	1			1		1																				1	0			
3	162.12		1	0		0		1	1																	0	0				
4	157.44			0					0	1	1	1	1						1	1	0										
5	152.76									0	0	0	1	0	0	0	0	0	0	0											
6	148.09																0														

สภาพอากาศ T=27°C, h=84%, P=757mmHg $V_{50\%}=159.15 \text{ kV}$ $\sigma=9.288$

ตารางที่ ง.9 ข้อมูลจากวิธีปรับระดับแรงดันขึ้นลง รูปคลื่น 1.2/50 μs ขัวบวก แกบ 28.5 cm

ระดับที่	ค่ายอดอิมพัลส์(kV)	1	2	3	4	5	6	7	8	9	10	11	12	13	14	15	16	17	18	19	20	21	22	23	24	25	26	27	28	29	30
1	172.25																										1				
2	167.57																1	1	1						0	1	1				
3	162.89		1	1		1		1	1	0	0	0	0	1	1	1	0							0	1	1					
4	158.22	0	0	0		0	0									0	0	0								0					

สภาพอากาศ T=27°C, h=75%, P=760mmHg $V_{50\%}=162.74 \text{ kV}$ $\sigma=3.107$

ตารางที่ ง.10 ข้อมูลจากวิธีปรับระดับแรงดันขึ้นลง รูปคลื่น 1.2/50 μs ขัวลบ แกบ 28.5 cm

ระดับที่	ค่ายอดอิมพัลส์(kV)	1	2	3	4	5	6	7	8	9	10	11	12	13	14	15	16	17	18	19	20	21	22	23	24	25	26	27	28	29	30
1	360.08																1														

2	350.73								0	1																		
3	341.38					1			0			1																
4	332.02	1	1	0	1	0					1			1						0	1							
5	322.67		0	0			0					1		0	1	0				1								
6	313.32									0			0							1								
7	303.97																			1								
8	294.61																											0

สภาพอากาศ T=29°C, h=75%, P=761mmHg $V_{50\%}=327.97 \text{ kV}$ $\sigma=34.295$

ตารางที่ ง.11 ข้อมูลจากวิธีปรับระดับแรงดันขึ้นลง รูปคลื่น 5/50 μs ข้าบวก แกบ 10 cm

ระดับที่	ค่ายอดอิมพัลส์(kV)	1	2	3	4	5	6	7	8	9	10	11	12	13	14	15	16	17	18	19	20	21	22	23	24	25	26	27	28	29	30
1	118.47																												1		
2	114.18														1														0		
3	109.90								1				0	1													1	0			
4	105.61	1	1	1	0	1	0	0	1	0				1	1	1	1	1	1	1	1	1	0	0	0						
5	101.32		0	0	0	0			0					0	0	0	0	0	0	0	0	0	0								

สภาพอากาศ T=27°C, h=56%, P=757mmHg $V_{50\%}=106.04 \text{ kV}$ $\sigma=6.598$

ตารางที่ ง.12 ข้อมูลจากวิธีปรับระดับแรงดันขึ้นลง รูปคลื่น 5/50 μs ข้าบลบ แกบ 10 cm

ระดับที่	ค่ายอดอิมพัลส์(kV)	1	2	3	4	5	6	7	8	9	10	11	12	13	14	15	16	17	18	19	20	21	22	23	24	25	26	27	28	29	30
1	194.85																	1			1										
2	188.61				1		1		1								0		1	0		1	0		0	1					
3	182.38	1	0	0	0	0		1		1		1				0			0			0				1					
4	176.14	0								0	0	1		0														0			
5	169.91														0																

สภาพอากาศ T=27°C, h=72%, P=757mmHg V_{50%}=183.83 kV σ=7.688

ตารางที่ ง.13 ข้อมูลจากวิธีปรับระดับแรงดันขึ้นลง รูปคลื่น 5/50 μs ข้าบواก แกป 28.5 cm

ระดับที่	ค่ายอดอิมพัลส์(kV)	1	2	3	4	5	6	7	8	9	10	11	12	13	14	15	16	17	18	19	20	21	22	23	24	25	26	27	28	29	30
1	190.17																1														
2	183.94		1				1					1		1	0		1				1		1								
3	177.70	0		1		0		1		1		0		0					1		0		0		1						
4	171.47				0				0		0										0					1		1		0	
5	165.23																										0		0		

สภาพอากาศ T=27°C, h=73%, P=757mmHg V_{50%}=177.5 kV σ=6.861

ตารางที่ ง.14 ข้อมูลจากวิธีปรับระดับแรงดันขึ้นลง รูปคลื่น 5/50 μs ข้าบลบ แกป 28.5 cm

ระดับที่	ค่ายอดอิมพัลส์(kV)	1	2	3	4	5	6	7	8	9	10	11	12	13	14	15	16	17	18	19	20	21	22	23	24	25	26	27	28	29	30
1	352.68															1															
2	342.16															0		1	1						1				1	1	
3	331.63	1		1		0		1		1		0				0		1	0		1		0		1		0		0		
4	321.11		0		0				0		0								0				0			0					

สภาพอากาศ T=27°C, h=70%, P=757mmHg V_{50%}=332.69 kV σ=6.796

ง.3 ข้อมูลจากวิธีปรับระดับแรงดันขึ้นลง กรณีลูกถวยแห่งก้านตรงแบบ 56/57-2

ตารางที่ ง.15 ข้อมูลจากวิธีปรับระดับแรงดันขึ้นลง รูปคลื่น 1.2/50 μs ข้าบواก

ระดับที่	ค่ายอดอิมพัลส์(kV)	1	2	3	4	5	6	7	8	9	10	11	12	13	14	15	16	17	18	19	20	21	22	23	24	25	26	27	28	29	30
1	198.00	1						1					1		1								1	1							
2	192.00		1				0	1				0	0	0	1	1					0	0	1			1					
3	186.00			1	0				1	0				0	1	0							1	0							
4	180.00				0				0							0									0						

สภาพอากาศ T=28°C,h=67%,P=759mmHg

$$V_{50\%}=189.8 \text{ kV}$$

$$\sigma=6.17$$

ตารางที่ ง.16 ข้อมูลจากวิธีปรับระดับแรงดันขึ้นลง รูปคลื่น 1.2/50 μs ข้าวกลบ

ระดับที่	ค่ายอดอิมพัลส์(kV)	1	2	3	4	5	6	7	8	9	10	11	12	13	14	15	16	17	18	19	20	21	22	23	24	25	26	27	28	29	30
1	271.00																		1												
2	264.00																	0	1				1					1			
3	257.00			1	1	1	1						1	1	0					1	0	1	1	1	0						
4	250.00		0	0	0	0		1	1	1	0	0	0	0							0		0	0	0						
5	243.00	0							0	0																					

สภาพอากาศ T=30°C,h=70%,P=758.5mmHg

$$V_{50\%}=254.43 \text{ kV}$$

$$\sigma=6.7$$

ตารางที่ ง.17 ข้อมูลจากวิธีปรับระดับแรงดันขึ้นลง รูปคลื่น 5/50 μs ข้าวบาก

ระดับที่	ค่ายอดอิมพัลส์(kV)	1	2	3	4	5	6	7	8	9	10	11	12	13	14	15	16	17	18	19	20	21	22	23	24	25	26	27	28	29	30
1	206.74		1																												
2	198.36	0	1						1										1												
3	189.98			1				0	1	1	1	1	1	0	1	1	1	0	1			1									
4	181.60				1	0			0	0	0	0	0	0	0	0	0	0		1	0	1									
5	173.22					0															0		1		1		0				
6	164.84																						1	0							

7	156.46																										0	
---	--------	--	--	--	--	--	--	--	--	--	--	--	--	--	--	--	--	--	--	--	--	--	--	--	--	--	---	--

สภาพอากาศ T=31°C, h=59%, P=760mmHg $V_{50\%}=184.12 \text{ kV}$ $\sigma=18.43$

ตารางที่ ง.18 ข้อมูลจากวิธีปรับระดับแรงดันขึ้นลง รูปคลื่น 5/50 μs ข้าวลบ

ระดับที่	ค่ายอดอิมพัลส์(kV)	1	2	3	4	5	6	7	8	9	10	11	12	13	14	15	16	17	18	19	20	21	22	23	24	25	26	27	28	29	30
1	252.92					1		1																							
2	245.90		1		0		0		0		1					1										1		1			
3	238.89	0		0							1		0		1		1		1		1		1		0	1	0				
4	231.87											0				0	0		0		0		0		0		0				

สภาพอากาศ T=31°C, h=59%, P=760mmHg $V_{50\%}=240.53 \text{ kV}$ $\sigma=7.14$

ง.4 ข้อมูลจากวิธีปรับระดับแรงดันขึ้นลง กรณีลูกถวยเท่งก้านตรงแบบ 56/57-3

ตารางที่ ง.19 ข้อมูลจากวิธีปรับระดับแรงดันขึ้นลง รูปคลื่น 1.2/50 μs ข้าวาก

ระดับที่	ค่ายอดอิมพัลส์(kV)	1	2	3	4	5	6	7	8	9	10	11	12	13	14	15	16	17	18	19	20	21	22	23	24	25	26	27	28	29	30
1	221.35	1						1		1		1				1			1			1									
2	213.56		1		1		0		0		0		1		0		1		0		1		0		1	1	1	1			
3	205.76			0		0							0				0			0			0		0	0	0				

สภาพอากาศ T=31°C, h=59%, P=760mmHg $V_{50\%}=213.3 \text{ kV}$ $\sigma=1.5$

ตารางที่ ง.20 ข้อมูลจากวิธีปรับระดับแรงดันขึ้นลง รูปคลื่น 1.2/50 μs ข้าวบ

ระดับที่	ค่ายอดอิมพัลส์(kV)	1	2	3	4	5	6	7	8	9	10	11	12	13	14	15	16	17	18	19	20	21	22	23	24	25	26	27	28	29	30
----------	--------------------	---	---	---	---	---	---	---	---	---	----	----	----	----	----	----	----	----	----	----	----	----	----	----	----	----	----	----	----	----	----

1	261.88	1						1	1	1			1			1	1	1	1	1	1	1	1	
2	247.85		1	1	0	0	0	0	1	0			1			1	0	0	0	0	0	0	0	
3	233.82		0	0					0			0												

สภาพอากาศ T=31°C, h=57%, P=755mmHg V_{50%}=251.1kV σ=2.186

ตารางที่ ง.21 ข้อมูลจากวิธีปรับระดับแรงดันขึ้นลง รูปคลื่น 5/50 μs ข้าบ梧

ระดับที่	ค่ายอดอิมพัลส์(kV)	1	2	3	4	5	6	7	8	9	10	11	12	13	14	15	16	17	18	19	20	21	22	23	24	25	26	27	28	29	30
1	227.58																				1										
2	222.13										1	1	1	1	1	1	1	1	0	1	1										
3	216.67		1	1	1	1	1	0	0	0	0	0	0	0	0	0	0	0	0	0	0	0	1								
4	211.22	0	0	0	0	0	0																	1	1	1	0				
5	205.76	0																							0	0					

สภาพอากาศ T=31°C, h=57%, P=757mmHg V_{50%}=216.14 kV σ=5.91

ตารางที่ ง.22 ข้อมูลจากวิธีปรับระดับแรงดันขึ้นลง รูปคลื่น 5/50 μs ข้าบลบ

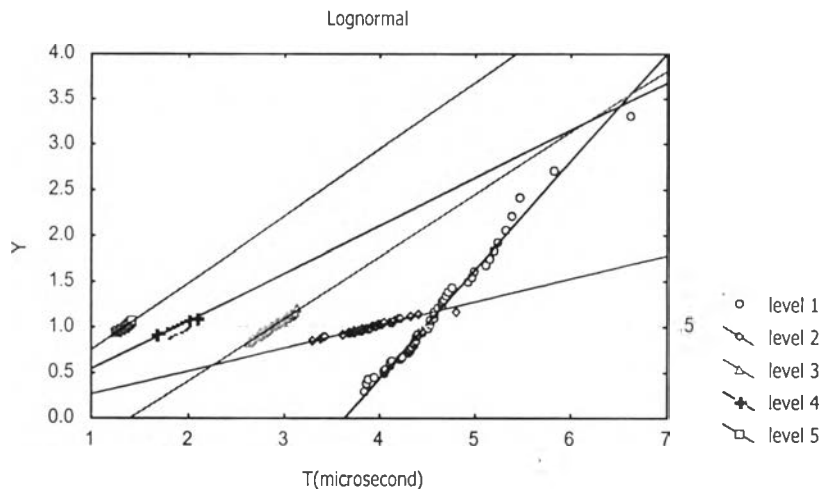
ระดับที่	ค่ายอดอิมพัลส์(kV)	1	2	3	4	5	6	7	8	9	10	11	12	13	14	15	16	17	18	19	20	21	22	23	24	25	26	27	28	29	30
1	279.03																							1	1						
2	266.17									1	1	1	1	1								1	0	0	0	1					
3	253.31	1	1					0	0	0	0	1	1	1	1	0	0	0	0	0	0				1						
4	240.44	0	1	0	0											0	0	0	0								0				
5	227.58					0																									

สภาพอากาศ T=31°C, h=57%, P=755mmHg V_{50%}=254.61 kV σ=13.97

ภาคผนวก จ.

การกระจายทางสถิติของข้อมูลเวลาเบรกดาวน์

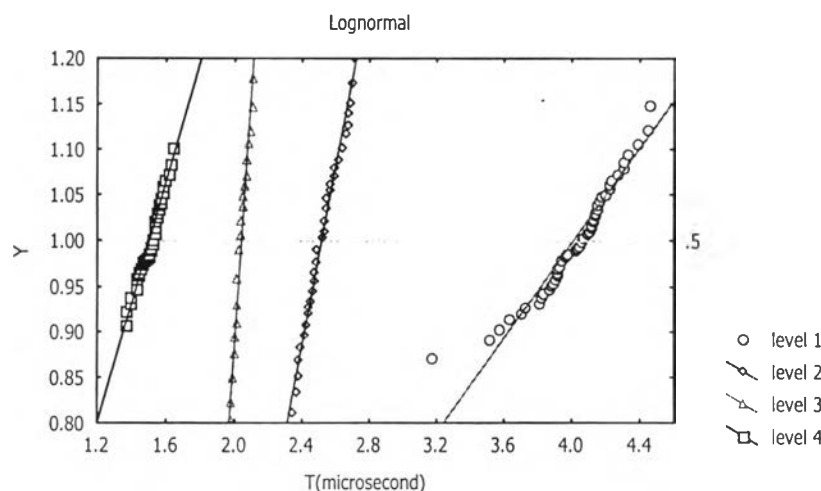
จ.1 การกระจายทางสถิติของเวลาเบรกดาวน์กรณี 1.2/50 rod-rod แกบ 28.5cm



รูปที่ จ.1 กราฟการกระจายของข้อมูลเวลาเบรกดาวน์รวม กรณีแรงดันอิมพัลส์ข้าวบาก

ตารางที่ จ.1 การกระจายของข้อมูลเวลาเบรกดาวน์รวม กรณีแรงดันอิมพัลส์ข้าวบาก

ระดับที่	ค่ายอดอิมพัลส์(kV)	θ_{est}	σ	$T=f(Y)$	$T_{50\%}(\mu s)$
1	190.28	3.608	0.544	$T=3.632+0.842*Y$	4.474
2	202.93	0	0.07	$T=-0.047+3.957*Y$	3.91
3	223.3	1.434	0.084	$T=1.399+1.471*Y$	2.87
4	280.3	0	0.041	$T=-0.036+1.914*Y$	1.878
5	343.97	0	0.029	$T=-0.018+1.364*Y$	1.346

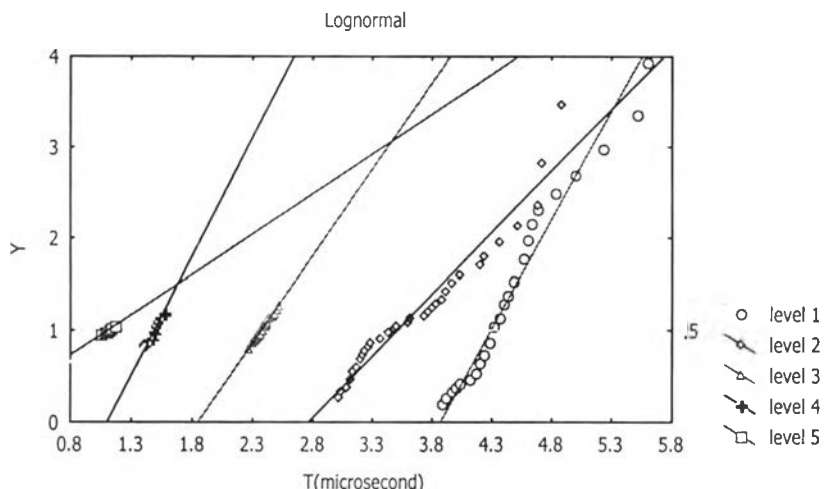


รูปที่ จ.2 กราฟการกระจายของข้อมูลเวลาเบรกดาวน์รวม กรณีแรงดันอิมพัลส์ข้าวลบ

ตารางที่ จ.2 การกระจายของข้อมูลเวลาเบรกดาวน์รวม กรณีแรงดันอิมพัลส์ช้าๆ บน

ระดับที่	ค่ายอดอิมพัลส์(KV)	θ_{est}	σ	$T=f(Y)$	$T_{50\%}(\mu s)$
1	224.74	3.608	0	$T=0.172+3.842*Y$	4.014
2	277.04	0	1.61	$T=1.589+0.93*Y$	2.519
3	301.62	1.434	1.652	$T=1.648+0.392*Y$	2.04
4	350.91	0	0	$T=-0.009+1.512*Y$	1.503

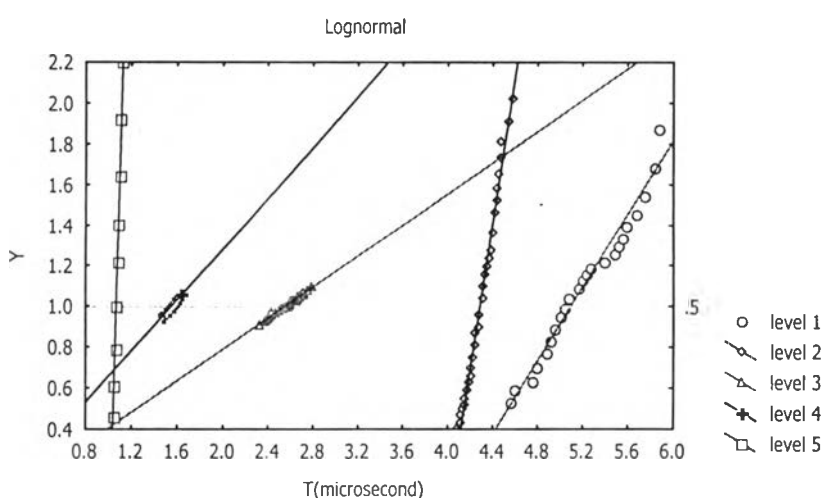
จ.2 การกระจายทางสถิติของเวลาเบรกดาวน์กรณี 5/50 rod-rod แกบ 10cm



รูปที่ จ.3 กราฟการกระจายของข้อมูลเวลาเบรกดาวน์รวม กรณีแรงดันอิมพัลส์ช้าๆ บวก

ตารางที่ จ.3 การกระจายของข้อมูลเวลาเบรกดาวน์รวม กรณีแรงดันอิมพัลส์ช้าๆ บวก

ระดับที่	ค่ายอดอิมพัลส์(KV)	θ_{est}	σ	$T=f(Y)$	$T_{50\%}(\mu s)$
1	104.78	3.838	0.75	$T=3.894+0.403*Y$	4.297
2	118.4	2.767	0.678	$T=2.722+0.79*Y$	3.512
3	121.26	1.86	0.107	$T=1.847+0.528*Y$	2.375
4	142.67	1.113	0.082	$T=1.102+0.385*Y$	1.487
5	171.0	0	0.02	$T=-0.028+1.14*Y$	1.112

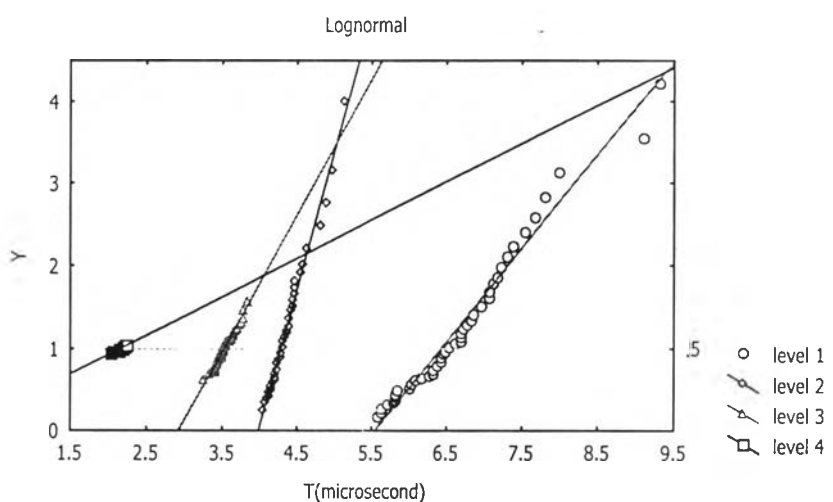


รูปที่ จ.4 กราฟการกระจายของข้อมูลเวลาเบรกดาวน์รวม กรณีแรงดันอิมพัลส์ข้าบวก

ตารางที่ จ.4 การกระจายของข้อมูลเวลาเบรกดาวน์รวม กรณีแรงดันอิมพัลส์ข้าบวก

ระดับที่	ค่าอุดอิมพัลส์(KV)	θ_{est}	σ	$T=f(Y)$	$T_{50\%}(\mu s)$
1	104.22	4.014	0.285	$y=3.989+1.111*x$	5.1
2	118.62	2.793	0.312	$y=2.793+0.511*x$	3.304
3	128.60	0	0.042	$y=-0.052+2.611*x$	2.559
4	153.29	0	0.027	$y=-0.046+1.599*x$	1.553
5	176.99	1.023	0.358	$y=1.023+0.047*x$	1.07

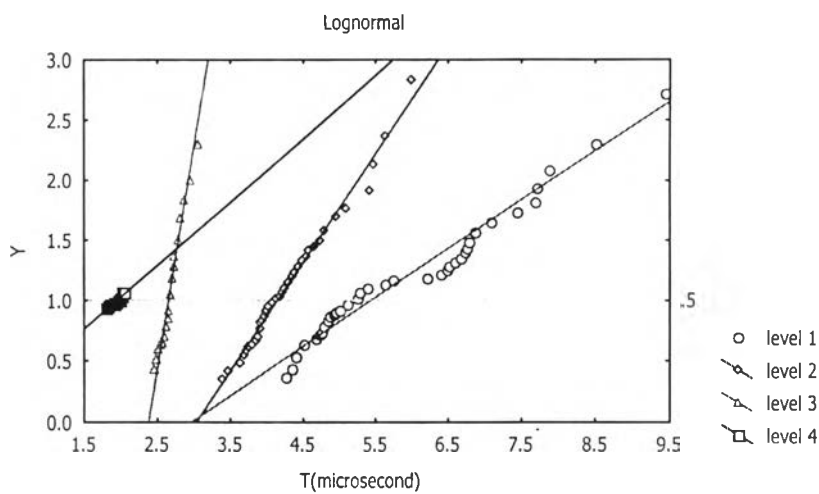
จ.3 การกระจายทางสถิติของเวลาเบรกดาวน์กรณี 5/50 rod-rod แกบ 28.5cm



รูปที่ จ.5 กราฟการกระจายของข้อมูลเวลาเบรกดาวน์รวม กรณีแรงดันอิมพัลส์ข้าบวก

ตารางที่ จ.5 การกระจายของข้อมูลเวลาเบรกดาวน์รวม กรณีแรงดันอิมพัลส์ข้าบวก

ระดับที่	ค่าอุดอิมพัลส์(KV)	θ_{est}	σ	$T=f(Y)$	$T_{50\%}(\mu s)$
1	208.95	5.44	0.788	$T=5.53+0.905*Y$	6.435
2	229.64	3.986	0.631	$T=3.991+0.299*Y$	4.29
3	249.66	2.929	0.207	$T=2.925+0.605*Y$	3.53
4	335.77	0	0.021	$T=0.016+2.149*Y$	2.165

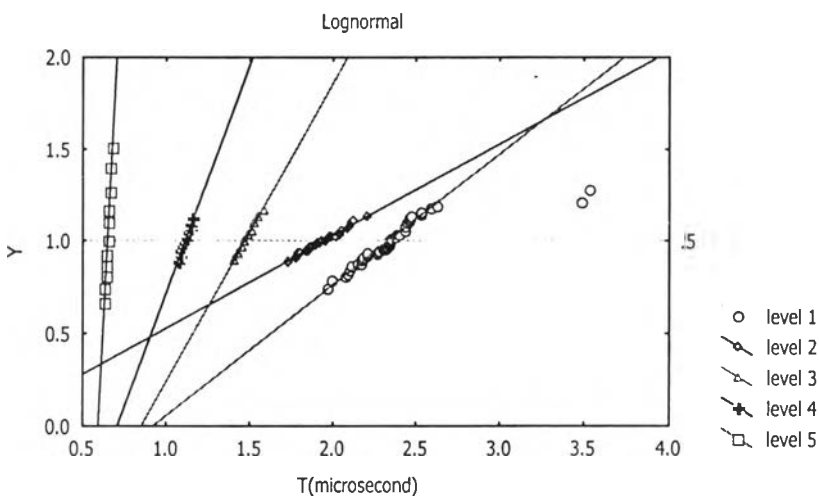


รูปที่ ๔.๖ กราฟการกระจายของข้อมูลเวลาเบรกดาวน์รวม กรณีแรงดันอิมพัลส์ข้าวกลบ

ตารางที่ ๔.๖ การกระจายของข้อมูลเวลาเบรกดาวน์รวม กรณีแรงดันอิมพัลส์ข้าวกลบ

ระดับที่	ค่ายอดอิมพัลส์(kV)	θ_{est}	σ	$T=f(Y)$	$T_{50\%}(\mu\text{s})$
1	293.58	3.111	0.455	$T=2.978+2.462*Y$	5.44
2	312.29	3.071	0.476	$T=3.051+1.101*Y$	4.152
3	346.61	2.361	0.377	$T=2.386+0.272*Y$	2.658
4	401.38	0	0.032	$T=0.053+1.901*Y$	1.954

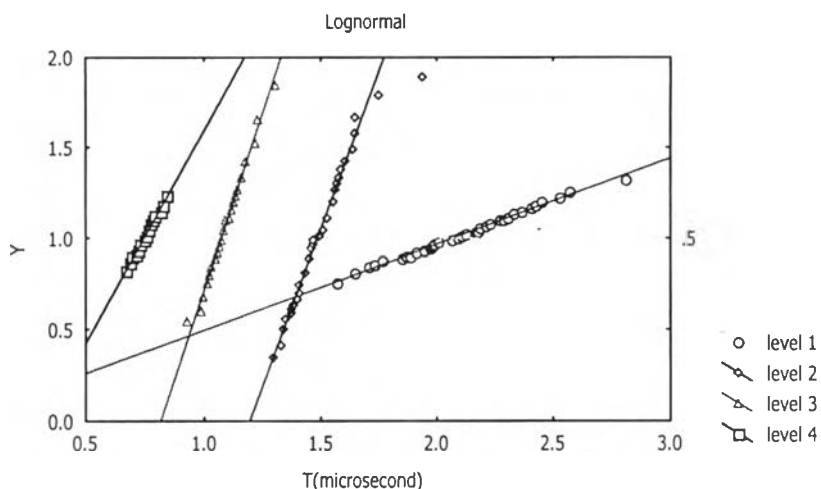
๔.๔ การกระจายทางสถิติของเวลาเบรกดาวน์กรณี 1.2/50 rod-plane แกบ 10 cm



รูปที่ ๔.๗ กราฟการกระจายของข้อมูลเวลาเบรกดาวน์รวม กรณีแรงดันอิมพัลส์ข้าวบาก

ตารางที่ ๔.๗ การกระจายของข้อมูลเวลาเบรกดาวน์รวม กรณีแรงดันอิมพัลส์ข้าวบาก

ระดับที่	ค่ายอดอิมพัลส์(kV)	θ_{est}	σ	$T=f(Y)$	$T_{50\%}(\mu\text{s})$
1	91.39	0	0.133	$T=0.926+1.408*Y$	2.334
2	98.93	0	0.056	$T=-0.051+1.996*Y$	1.945
3	113.28	0.902	0.08	$T=0.855+0.617*Y$	1.472
4	141.94	0.728	0.057	$T=0.71+0.404*Y$	1.114
5	187.77	0.598	0.186	$T=0.596+0.055*Y$	0.651

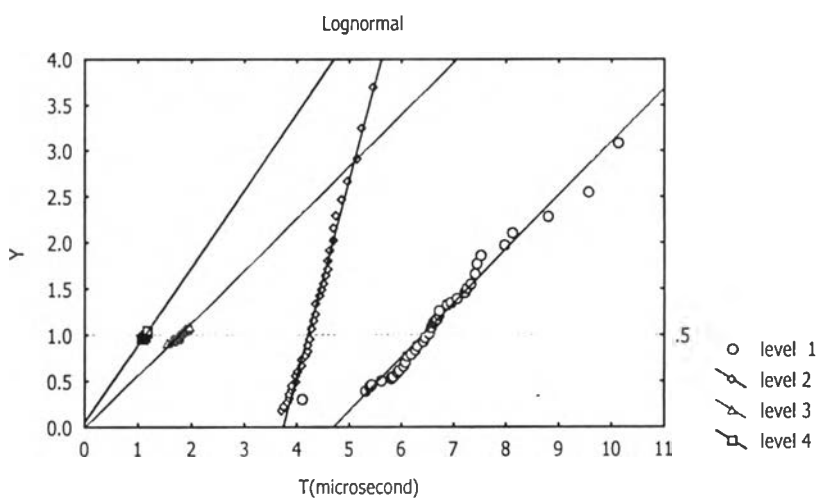


รูปที่ ๔.๘ กราฟการกระจายของข้อมูลเวลาเบรกดาวน์รวม กรณีแรงดันอิมพัลส์ข้าวกลบ

ตารางที่ ๔.๘ การกระจายของข้อมูลเวลาเบรกดาวน์รวม กรณีแรงดันอิมพัลส์ข้าวกลบ

ระดับที่	ค่ายอดอิมพัลส์(KV)	θ_{est}	σ	$T=f(Y)$	$T_{50\%}(\mu\text{s})$
1	173.1	0	0.126	$y=-0.046+2.116*x$	2.07
2	183.13	1.034	0.48	$y=1.196+0.29*x$	1.486
3	226.31	0.819	0.277	$y=0.818+0.256*x$	1.074
4	231.05	0.334	0.096	$y=0.322+0.425*x$	0.747

๔.๕ การกระจายทางสถิติของเวลาเบรกดาวน์กรณี 1.2/50 rod-plane แกป 28.5cm

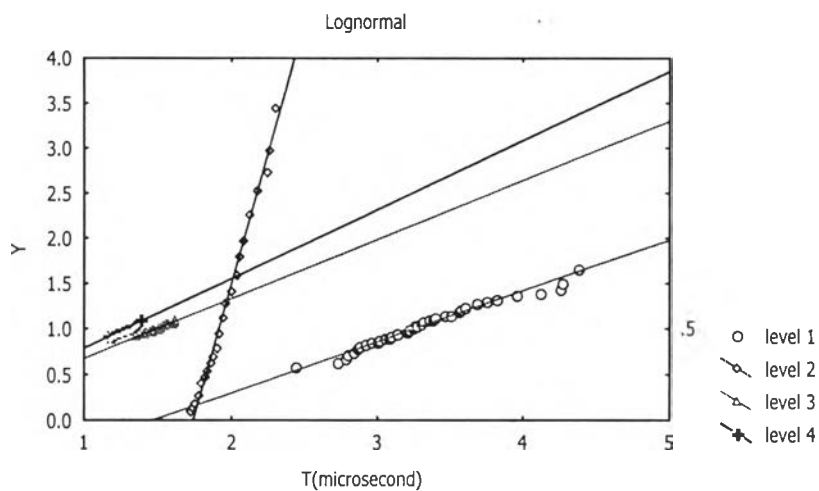


รูปที่ ๔.๙ กราฟการกระจายของข้อมูลเวลาเบรกดาวน์รวม กรณีแรงดันอิมพัลส์ข้าวบาง

ตารางที่ ๔.๙ การกระจายของข้อมูลเวลาเบรกดาวน์รวม กรณีแรงดันอิมพัลส์ข้าวบาง

ระดับที่	ค่ายอดอิมพัลส์(KV)	θ_{est}	σ	$T=f(Y)$	$T_{50\%}(\mu\text{s})$
1	169.69	3.936	0.514	$T=4.702+1.714*Y$	6.416
2	187.63	3.67	0.81	$T=3.736+0.483*Y$	4.219

3	281.58	0	0.04	$T=0.02+1.765*Y$	1.785
4	364.39	0	0.023	$T=-0.055+1.191*Y$	1.136

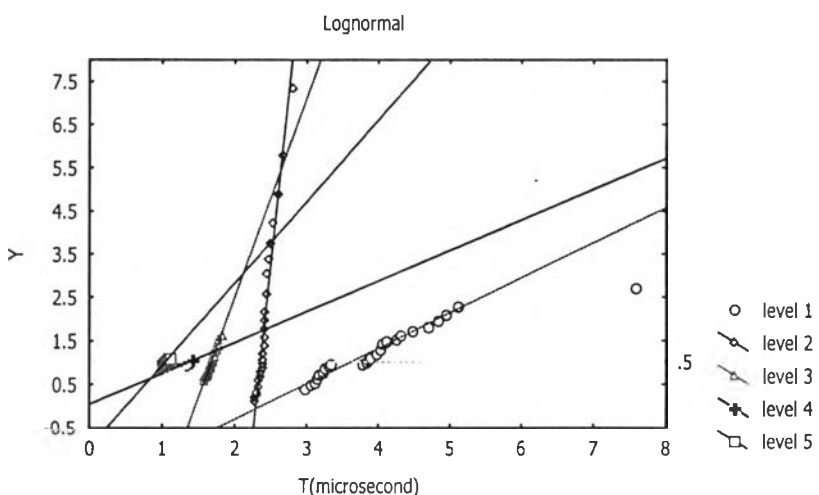


รูปที่ จ.10 กราฟการกระจายของข้อมูลเวลาเบรกดาวน์รวม กรณีแรงดันอิมพัลส์ข้าวกลบ

ตารางที่ จ.10 การกระจายของข้อมูลเวลาเบรกดาวน์รวม กรณีแรงดันอิมพัลส์ข้าวกลบ

ระดับที่	ค่ายอดอิมพัลส์(kV)	θ_{est}	σ	$T=f(Y)$	$T_{50\%}(\mu s)$
1	329.03	1.552	0.252	$T=1.471+1.786*Y$	3.257
2	381.63	1.716	1.064	$T=1.73+0.185*Y$	1.915
3	418.62	0	0.04	$T=-0.024+1.525*Y$	1.501
4	468.5	0	0.045	$T=-0.023+1.305*Y$	1.282

จ.6 การกระจายทางสถิติของเวลาเบรกดาวน์กรณี 5/50 rod-plane แกป 10 cm

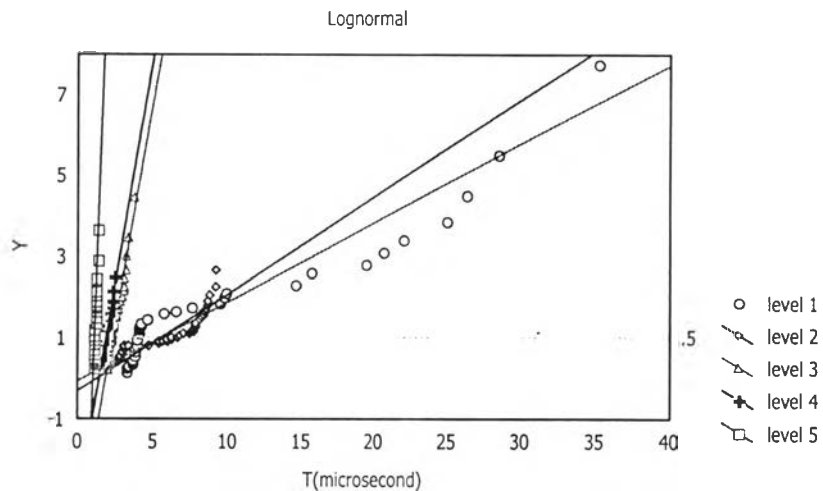


รูปที่ จ.11 กราฟการกระจายของข้อมูลเวลาเบรกดาวน์รวม กรณีแรงดันอิมพัลส์ข้าววก

ตารางที่ จ.11 การกระจายของข้อมูลเวลาเบรกดาวน์รวม กรณีแรงดันอิมพัลส์ข้าววก

ระดับที่	ค่ายอดอิมพัลส์(kV)	θ_{est}	σ	$T=f(Y)$	$T_{50\%}(\mu s)$
----------	--------------------	----------------	----------	----------	-------------------

1	101.67	2.334	0.456	$T=2.378+1.23*Y$	3.608
2	104.99	2.2633	1.09	$T=2.3+0.062*Y$	2.362
3	119.97	1.465	0.225	$T=1.465+0.217*Y$	1.682
4	138.14	0	0.022	$T=-0.05+1.411*Y$	1.361
5	160.56	0.537	0.056	$T=0.517+0.526*Y$	1.043

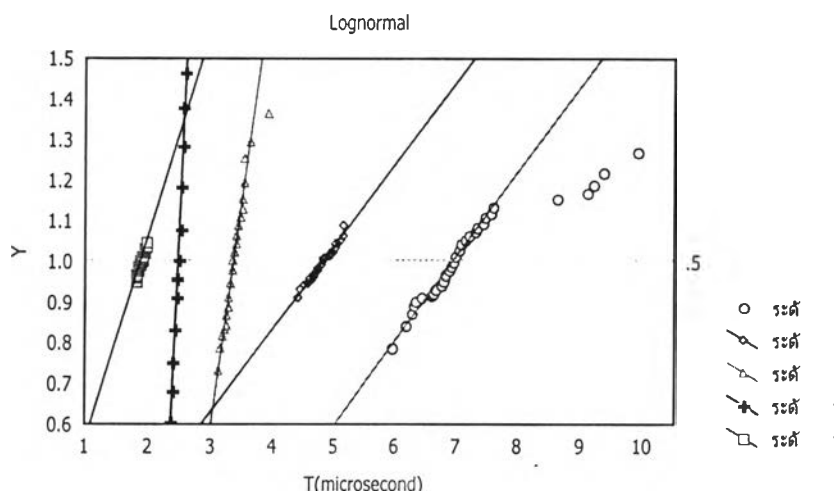


รูปที่ จ.12 กราฟการกระจายของข้อมูลเวลาเบรกดาวน์รวม กรณีแรงดันอิมพัลส์ข้าวlab

ตารางที่ จ.12 การกระจายของข้อมูลเวลาเบรกดาวน์รวม กรณีแรงดันอิมพัลส์ข้าวlab

ระดับที่	ค่ายอดอิมพัลส์(KV)	θ_{est}	σ	$T=f(Y)$	$T_{50\%}(\mu s)$
1	181.29	1.705	0.931	$T=0.412+5.134*Y$	-
2	205.93	0	0.441	$T=1.368+4.184*Y$	-
3	203.39	1.921	0.678	$T=1.882+0.459*Y$	2.341
4	221.47	1.463	0.417	$T=1.44+0.449*Y$	1.889
5	227.25	1.02	0.587	$T=1.031+0.09*Y$	1.121

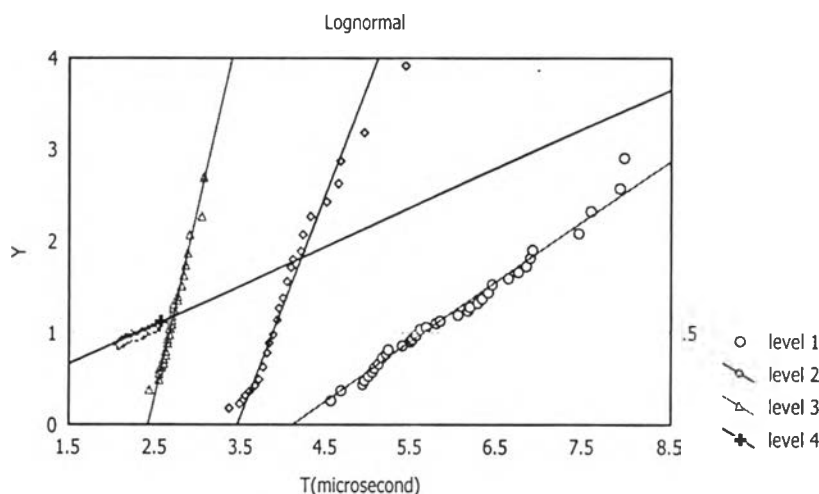
จ.7 การกระจายทางสถิติของเวลาเบรกดาวน์กรณี 5/50 rod-plane แกป 28.5 cm



รูปที่ จ.13 กราฟการกระจายของข้อมูลเวลาเบรกดาวน์รวม กรณีแรงดันอิมพัลส์ข้าวbag

ตารางที่ จ.13 การกระจายของข้อมูลเวลาเบรกดาวน์รวม กรณีแรงดันอิมพัลส์ขั้นบาก

ระดับที่	ค่ายอดอิมพัลส์(kV)	θ_{est}	σ	$T=f(Y)$	$T_{50\%}(\mu s)$
1	177.16	0	0.108	$T=2.151+4.799*Y$	6.95
2	198.5	0	0.042	$T=-0.105+4.936*Y$	5.041
3	228.74	2.428	0.141	$T=2.474+0.894*Y$	3.368
4	260.8	2.205	0.277	$T=2.203+0.265*Y$	2.468
5	288.47	0	0.026	$T=-0.087+1.966*Y$	1.879

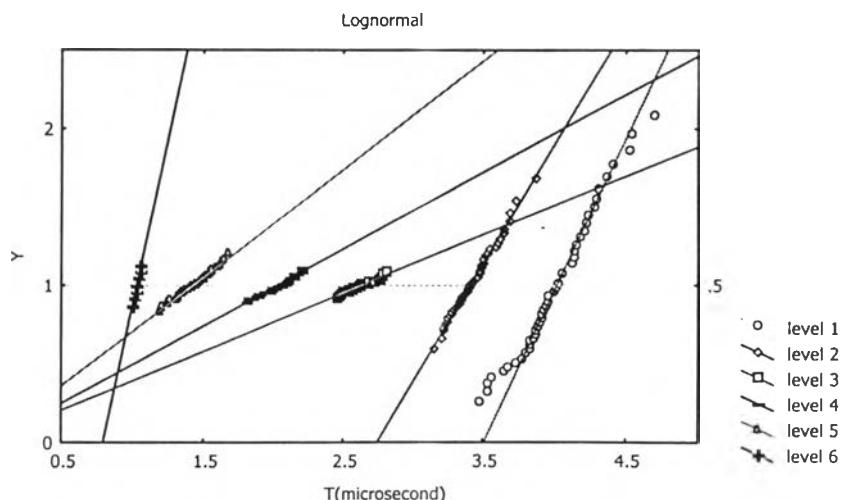


รูปที่ จ.14 กราฟการกระจายของข้อมูลเวลาเบรกดาวน์รวม กรณีแรงดันอิมพัลส์ขั้นลบ

ตารางที่ จ.14 การกระจายของข้อมูลเวลาเบรกดาวน์รวม กรณีแรงดันอิมพัลส์ขั้นลบ

ระดับที่	ค่ายอดอิมพัลส์(kV)	θ_{est}	σ	$T=f(Y)$	$T_{50\%}(\mu s)$
1	330.75	4.147	0.586	$T=4.116+1.533*Y$	5.649
2	355.78	3.3466	3.3592	$T=3.46+0.415*Y$	3.875
3	384.96	2.386	0.45	$T=2.423+0.242*Y$	2.665
4	421.19	0	0.06	$T=-0.05+2.346*Y$	2.296

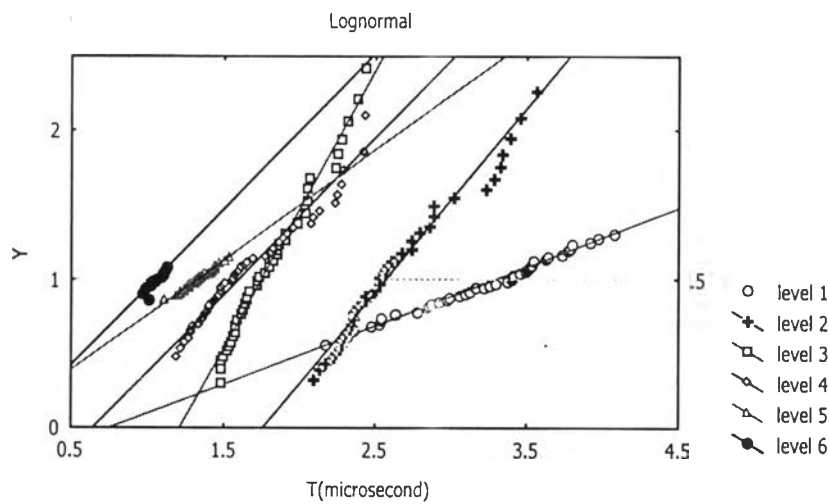
จ.8 การกระจายทางสถิติของเวลาเบรกดาวน์กรณี 1.2/50 ลูกถ้วยเท่งก้านตรง 56/57-2



รูปที่ จ.15 กราฟการกระจายของข้อมูลเวลาเบรกดาวน์รวม กรณีแรงดันอิมพัลส์ข้าวบาก

ตารางที่ จ.15 การกระจายของข้อมูลเวลาเบรกดาวน์รวม กรณีแรงดันอิมพัลส์ข้าวบาก

ระดับที่	ค่ายอดอิมพัลส์(kV)	θ_{est}	σ	$T=f(Y)$	$T_{50\%}(\mu s)$
1	214.42	3.31	0.606	$T=3.512+0.513*Y$	4.025
2	224.68	2.771	0.237	$T=2.753+0.661*Y$	3.414
3	245.54	0	0.037	$T=-0.042+2.676*Y$	2.634
4	270.06	0	0.049	$T=-0+2.032*Y$	2.032
5	290.3	0	0.086	$T=-0.017+1.448*Y$	1.431
6	374.13	0.811	0.07	$T=0.795+0.235*Y$	1.03

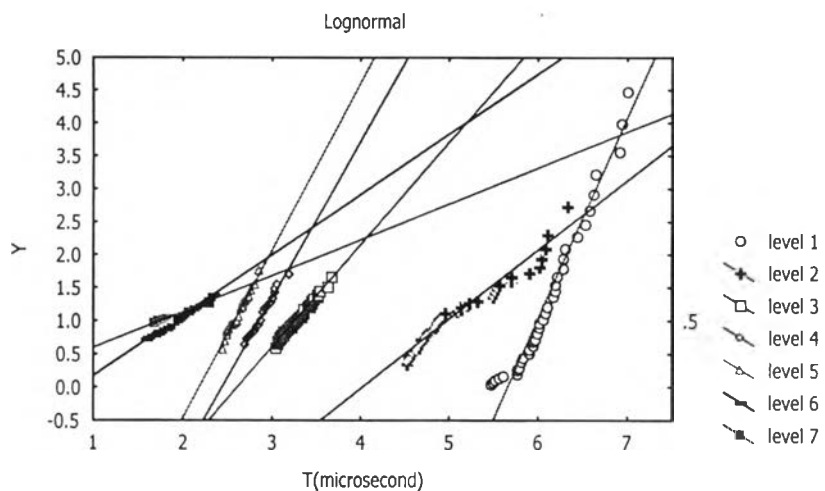


รูปที่ จ.16 กราฟการกระจายของข้อมูลเวลาเบรกดาวน์รวม กรณีแรงดันอิมพัลส์ข้าวบาก

ตารางที่ จ.16 การกระจายของข้อมูลเวลาเบรกดาวน์รวม กรณีแรงดันอิมพัลส์ข้าวบาก

ระดับที่	ค่ายอดอิมพัลส์(kV)	θ_{est}	σ	$T=f(Y)$	$T_{50\%}(\mu s)$
1	251.76	0	0.263	$T=0.758+2.536*Y$	3.294
2	261.92	1.837	0.507	$T=1.795+0.776*Y$	2.571
3	281.18	1.282	0.547	$T=1.214+0.536*Y$	1.75
4	295.4	0.688	0.339	$T=0.647+0.952*Y$	1.599
5	309.82	0	0.066	$T=-0.026+1.354*Y$	1.328
6	345.35	0	0.042	$T=-0.02+1.071*Y$	1.051

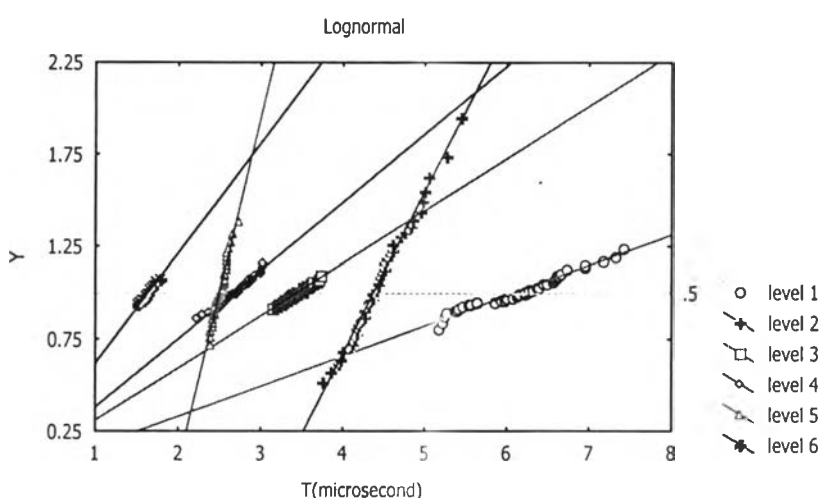
๗.8 การกระจายทางสถิติของเวลาเบรกดาวน์กรณี 5/50 ลูกถ่ายเที่ยงก้านตรง 56/57-2



รูปที่ ๗.17 กราฟการกระจายของข้อมูลเวลาเบรกดาวน์รวม กรณีแรงดันอิมพัลส์ข้าบวก

ตารางที่ ๗.17 การกระจายของข้อมูลเวลาเบรกดาวน์รวม กรณีแรงดันอิมพัลส์ข้าบวก

ระดับที่	ค่ายอดอิมพัลส์(KV)	θ_{est}	σ	$T=f(Y)$	$T_{50\%}(\mu s)$
1	202.29	5.469	1.349	$T=5.646+0.329*Y$	5.975
2	223.22	4.086	0.456	$T=4.026+0.954*Y$	4.98
3	260.38	2.627	0.229	$T=2.612+0.646*Y$	3.258
4	272.68	2.444	0.242	$T=2.44+0.42*Y$	2.86
5	283.12	2.198	0.254	$T=2.186+0.394*Y$	2.58
6	313.41	0.836	0.156	$T=0.817+1.093*Y$	1.91
7	336.37	0	0.022	$T=-0.069+1.825*Y$	1.756



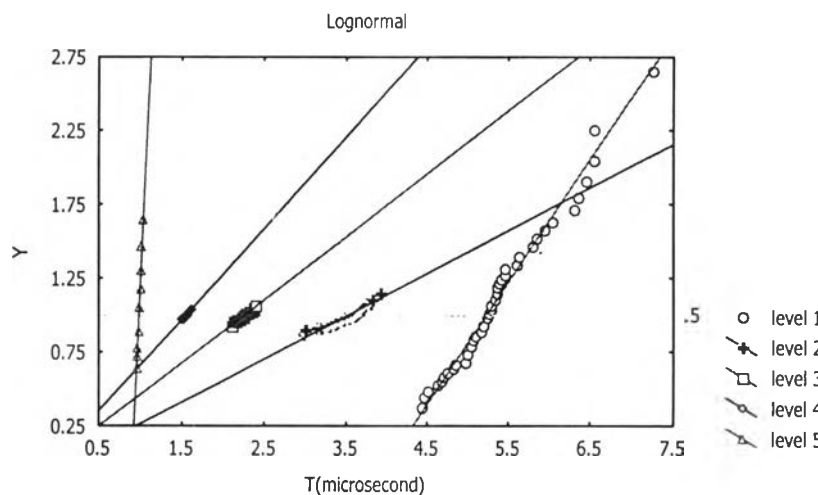
รูปที่ ๗.18 กราฟการกระจายของข้อมูลเวลาเบรกดาวน์รวม กรณีแรงดันอิมพัลส์ข้าลบ

ตารางที่ ๗.18 การกระจายของข้อมูลเวลาเบรกดาวน์รวม กรณีแรงดันอิมพัลส์ข้าลบ

ระดับที่	ค่ายอดอิมพัลส์(KV)	θ_{est}	σ	$T=f(Y)$	$T_{50\%}(\mu s)$
1	260.76	0	0.099	$T=-0.003+6.102*Y$	6.099
2	274.66	3.252	0.303	$T=3.242+1.14*Y$	4.382

3	288.47	0	0.04	$T=-0.079+3.523*Y$	3.444
4	297.91	0	0.069	$T=-0.018+2.702*Y$	2.684
5	303.76	1.983	0.148	$T=1.975+0.528*Y$	2.503
6	329.64	0	0.031	$T=-0.023+1.668*Y$	1.645

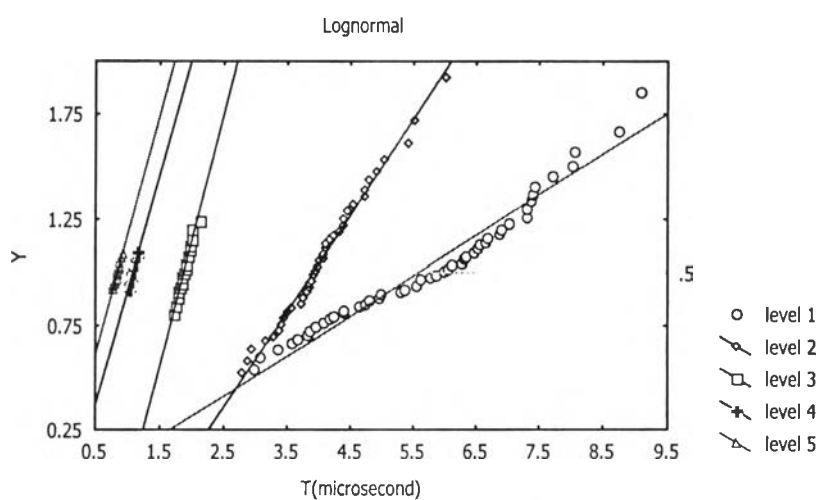
๗.๙ การกระจายทางสถิติของเวลาเบรกดาวน์กรณี 1.2/50 ลูกถ้วยแห่งก้านตรง 56/57-3



รูปที่ ๗.๑๙ กราฟการกระจายของข้อมูลเวลาเบรกดาวน์รวม กรณีแรงดันอิมพัลส์ข้าวบาก

ตารางที่ ๗.๑๙ การกระจายของข้อมูลเวลาเบรกดาวน์รวม กรณีแรงดันอิมพัลส์ข้าวบาก

ระดับที่	ค่ายอดอิมพัลส์(KV)	θ_{est}	σ	$T=f(Y)$	$T_{50\%}(\mu s)$
1	223.79	4.0168	0.443	$T=4.033+1.206*Y$	5.239
2	248.67	0	0.061	$T=0.098+3.442*Y$	3.54
3	300.21	0	0.032	$T=-0.074+2.343*Y$	2.269
4	359.76	0	0.019	$T=-0.063+1.621*Y$	1.558
5	439.99	0.906	0.226	$T=0.906+0.08*Y$	0.986

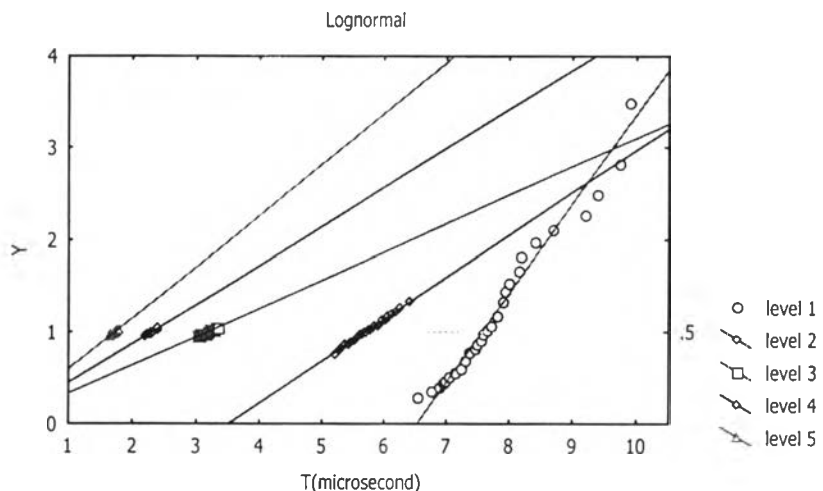


รูปที่ ๗.๒๐ กราฟการกระจายของข้อมูลเวลาเบรกดาวน์รวม กรณีแรงดันอิมพัลส์ข้าวลบ

ตารางที่ จ.20 การกระจายของข้อมูลเวลาเบรกดาวน์รวม กรณีแรงดันอิมพัลส์ขั้วลบ

ระดับที่	ค่ายอดิมพัลส์(KV)	θ_{est}	σ	$T=f(Y)$	$T_{50\%}(\mu s)$
1	262.36	0	0.282	$T=0.364+5.224*Y$	5.588
2	276.48	1.726	0.297	$T=1.72+2.195*Y$	3.915
3	326.74	1.067	0.1	$T=1.042+0.837*Y$	1.879
4	412.87	0.205	0.041	$T=0.176+0.911*Y$	1.087
5	442.87	0	0.04	$T=-0.027+0.879*Y$	0.852

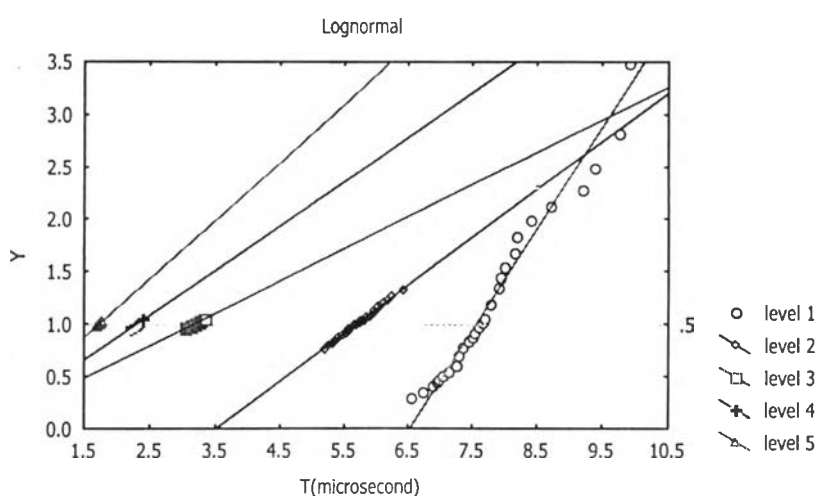
จ.10 การกระจายทางสถิติของเวลาเบรกดาวน์กรณี 5/50 ลูกถ่ายเท่งก้านตรง 56/57-3



รูปที่ จ.21 กราฟการกระจายของข้อมูลเวลาเบรกดาวน์รวม กรณีแรงดันอิมพัลส์ขั้วบวก

ตารางที่ จ.21 การกระจายของข้อมูลเวลาเบรกดาวน์รวม กรณีแรงดันอิมพัลส์ขั้วบวก

ระดับที่	ค่ายอดิมพัลส์(KV)	θ_{est}	σ	$T=f(Y)$	$T_{50\%}(\mu s)$
1	221.73	6.417	0.567	$T=6.541+1.032*Y$	7.573
2	245.05	3.577	0.129	$T=3.521+2.184*Y$	5.705
3	303.54	0	0.024	$T=-0.06+3.246*Y$	3.186
4	342.51	0	0.022	$T=-0.039+2.355*Y$	2.316
5	386.16	0	0.016	$T=-0.061+1.8*Y$	1.739



รูปที่ จ.22 กราฟการกระจายของข้อมูลเวลาเบรกดาวน์รวม กรณีแรงดันอิมพัลส์ขั่วลบ

ตารางที่ จ.22 การกระจายของข้อมูลเวลาเบรกดาวน์รวม กรณีแรงดันอิมพัลส์ขั่วลบ

ระดับที่	ค่ายอดิมพัลส์(kV)	θ_{est}	σ	$T=f(Y)$	$T_{50\%}(\mu s)$
1	283.71	4.514	0.311	$T=4.555+1.787*Y$	6.342
2	295	3.01	0.138	$T=2.917+1.76*Y$	4.677
3	309.97	0	0.046	$T=-0.044+3.434*Y$	3.39
4	328.2	1.646	0.105	$T=1.624+0.875*Y$	2.5
5	371.42	0	0.026	$T=-0.048+1.791*Y$	1.743

ประวัติผู้เขียนวิทยานิพนธ์

นายณัณฐ์ ตอบนียพันธ์ เกิดเมื่อวันที่ 11 เมษายน พ.ศ. 2521 จังหวัดกรุงเทพมหานคร
สำเร็จการศึกษาระดับปริญญาตรี วิศวกรรมศาสตรบัณฑิต สาขาวิศวกรรมไฟฟ้ากำลัง ภาควิชา
วิศวกรรมไฟฟ้า จุฬาลงกรณ์มหาวิทยาลัย ในปีการศึกษา 2541 และเข้าศึกษาต่อในหลักสูตร
วิศวกรรมศาสตรบัณฑิต สาขาวิศวกรรมไฟฟ้ากำลัง ภาควิชาวิศวกรรมไฟฟ้า คณะวิศวกรรม
ศาสตร์ จุฬาลงกรณ์มหาวิทยาลัย ในปีการศึกษา 2542 จนถึงปัจจุบัน